

IT 308 D – TOPICOS EM TECNICAS DE ALTA TENSÃO II.

Prof. José Pissolato Filho

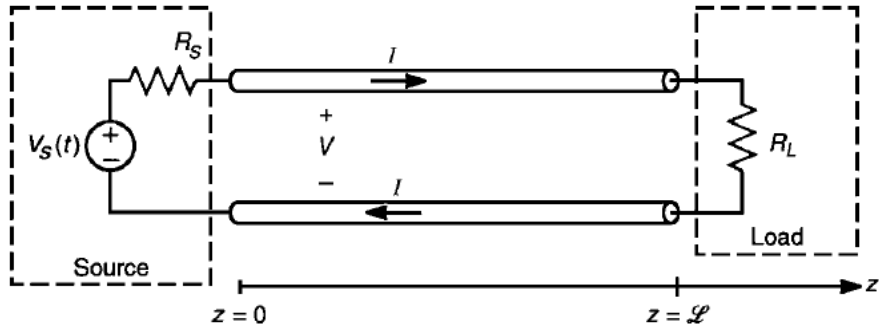
Campinas, março 2020

CHAPTER FOUR

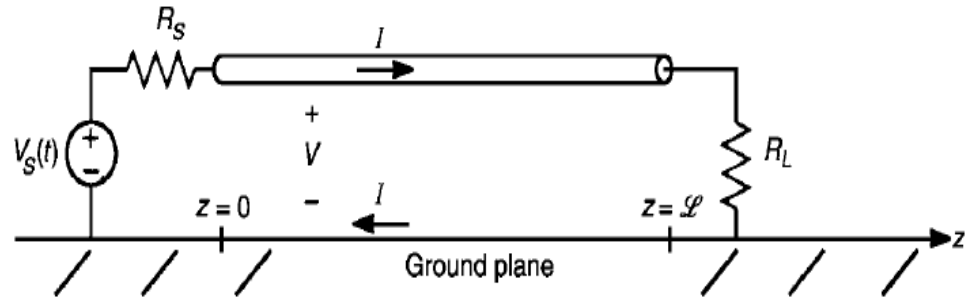


Transmission Lines

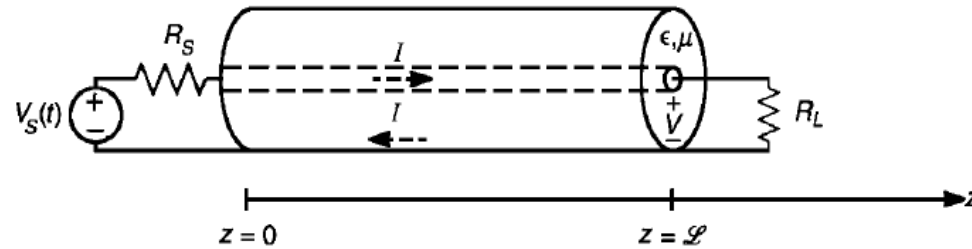
⇒ Típico condutor utilizado em linhas de transmissão.



(a)



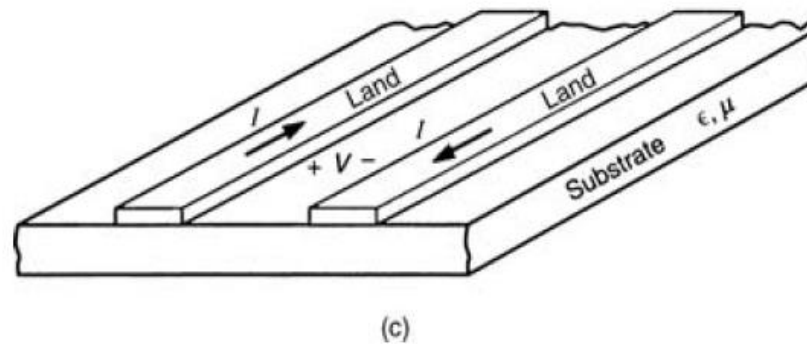
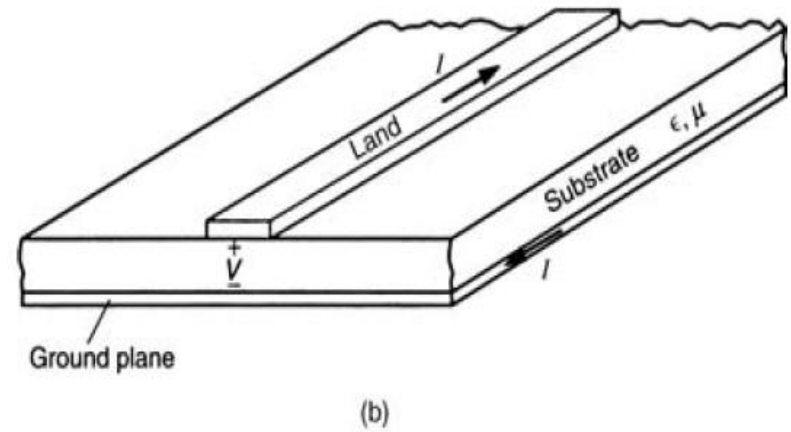
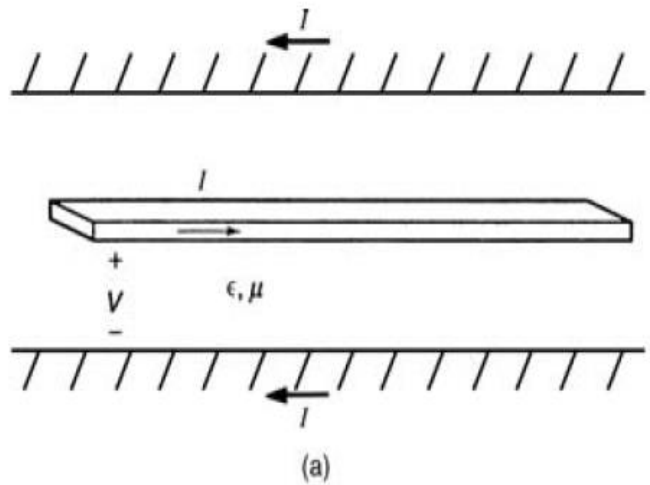
(b)



(c)

⇒ (a) 2 condutores / (b) 1 condutor sobre o solo infinito / (c) cabo coaxial

⇒ Típico circuito impresso.



⇒ (a) linha de microfitas / (b) microfitas / (c) PCB

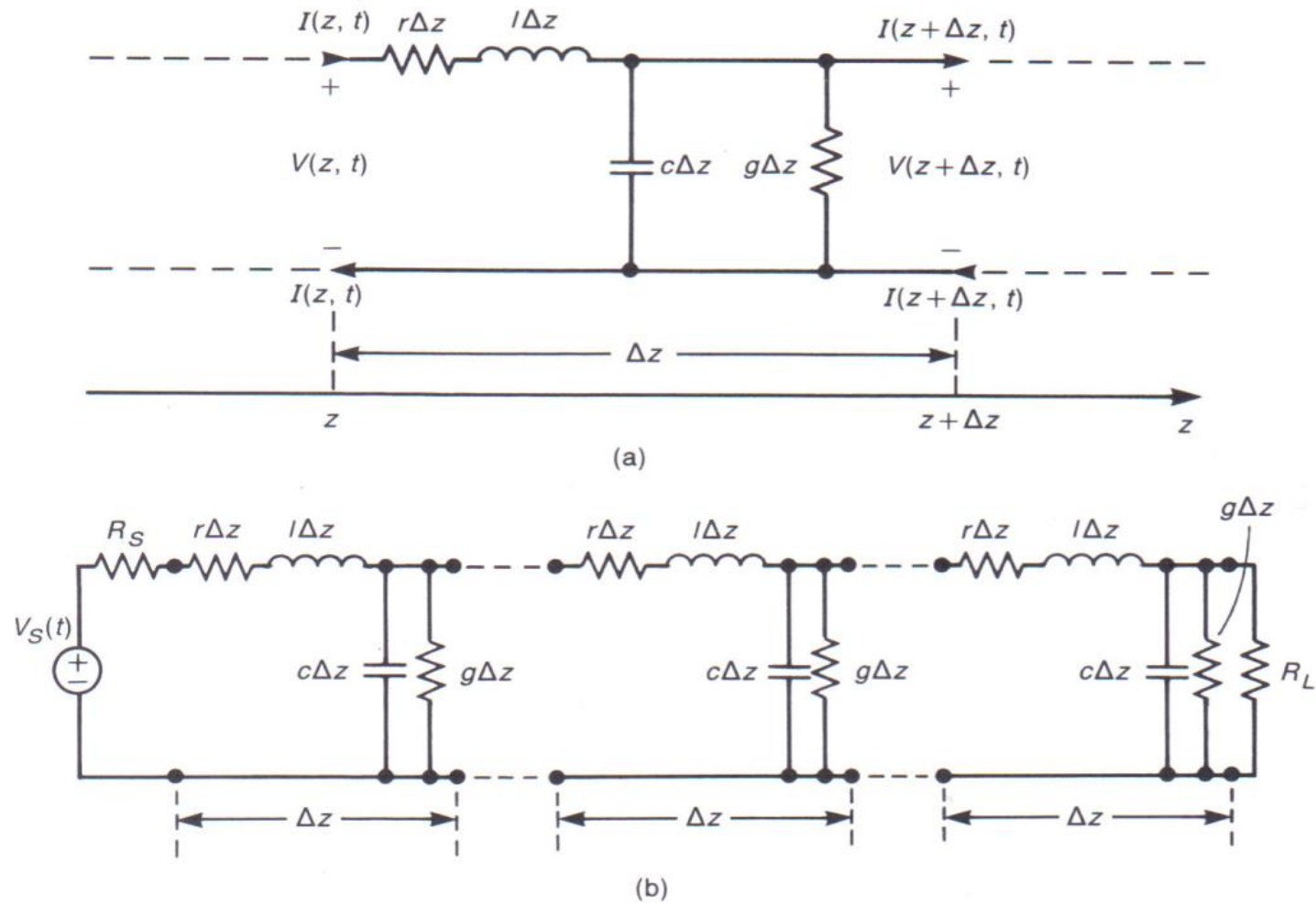


FIGURE 4.3 The per-unit-length equivalent circuit of a two-conductor line for the TEM mode of propagation: (a) the equivalent circuit for a Δz section; (b) modeling the entire line as a cascade of Δz sections from which the transmission line equations are derived in the limit as $\Delta z \rightarrow 0$.

⇒ **Introdução**

⇒ Uma linha de transmissão é um meio de propagação de sinais elétricos.

⇒ Pode ser constituída por:

⇒ Dois condutores paralelos

⇒ Duas placas paralelas

⇒ Dois condutores coaxiais

⇒ De maneira geral pode ser constituída por dois condutores separados por um dielétrico.

⇒ **Introdução**

- ⇒ A análise do comportamento de uma linha de transmissão pode ser feita de maneira rigorosa através da teoria eletromagnética.
- ⇒ Aqui, no entanto, seguiremos um caminho alternativo, empregando o método tradicional baseado na teoria de circuitos de elementos distribuídos.

⇒ **Introdução**

⇒ Seção infinitesimal de uma linha de transmissão.

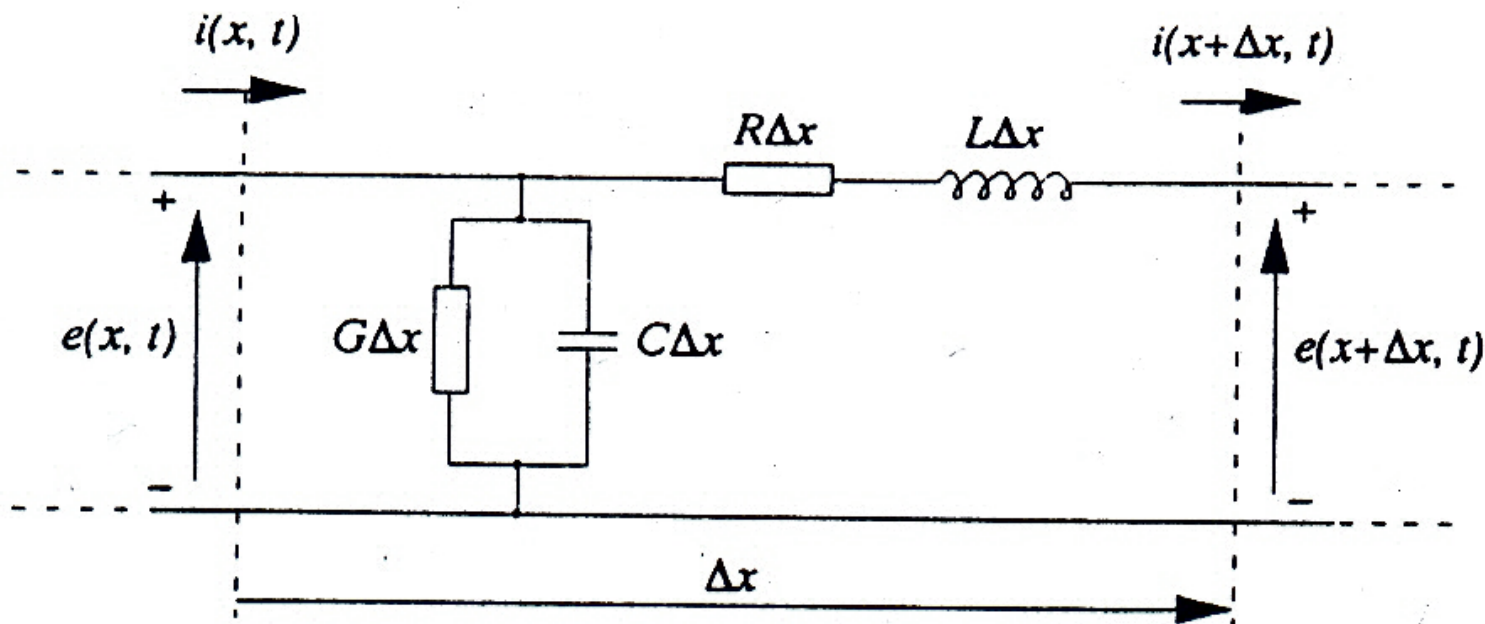


Fig.1 - Linha de transmissão uniforme.

⇒ **Introdução**

⇒ Onde:

⇒ R = Resistência série da linha por unidade de comprimento [Ω/m]

⇒ L = Indutância série da linha por unidade de comprimento [H/m]

⇒ C = Capacitância paralela da linha por unidade de comprimento [F/m]

⇒ G = Condutância paralela da linha por unidade de comprimento [S/m]

⇒ Introdução

⇒ Aplicando a lei das malhas de Kirchhoff ao circuito:

$$e(x,t) = R\Delta x \cdot i(x + \Delta x, t) + L\Delta x \cdot \frac{\partial i}{\partial t}(x + \Delta x, t) + e(x + \Delta x, t) \quad (1)$$

⇒ onde $e(x,t)$ e $i(x,t)$ são as variáveis dependentes mais usuais e “ x ” e “ t ” são as variáveis independentes (espaço e tempo).

⇒ Dividindo (1) por Δx e rearrajando os termos, temos:

$$\left[R + L \frac{\partial}{\partial t} \right] i(x + \Delta x, t) = - \frac{e(x + \Delta x, t) - e(x, t)}{\Delta x} \quad (2)$$

⇒ **Introdução**

⇒ Vejamos agora, a lei dos nós de Kirchhoff:

$$i(x + \Delta x, t) = i(x, t) - G\Delta x \cdot e(x, t) - C\Delta x \cdot \frac{\partial}{\partial t} e(x, t) \quad (3)$$

⇒ Substituindo (3) em (2), tem-se:

$$\left[R + L \frac{\partial}{\partial t} \right] \left[i(x, t) - G\Delta x e(x, t) - C\Delta x \frac{\partial}{\partial t} e(x, t) \right] = - \frac{e(x + \Delta x, t) - e(x, t)}{\Delta x} \quad (4)$$

⇒ Introdução

⇒ O modelo assumido fica mais próximo da situação real à medida que Δx tende a zero. Aplicando o limite na eq.(4), para $\Delta x \rightarrow 0$, tem-se:

$$\left[R + L \frac{\partial}{\partial t} \right] i(x,t) = - \frac{\partial}{\partial x} e(x,t) \quad (5)$$

⇒ É importante observar que o 2º membro de (4) dá origem ao negativo da derivada parcial da tensão $e(x,t)$ na linha em relação a x .

⇒ Introdução

⇒ Reescrevendo a eq.(3) numa forma mais apropriada e dividindo por Δx , obtém-se:

$$\left[G + C \frac{\partial}{\partial t} \right] e(x, t) = - \frac{i(x + \Delta x, t) - i(x, t)}{\Delta x} \quad (6)$$

⇒ Fazendo o limite de (6) quando $\Delta x \rightarrow 0$, tem-se:

$$\boxed{\left[G + C \frac{\partial}{\partial t} \right] e(x, t) = - \frac{\partial}{\partial x} i(x, t)} \quad (7)$$

⇒A eq.(5) indica que há **queda de tensão** com a distância x na linha pela passagem da corrente nos elementos R e L em série na linha.

$$\left[R + L \frac{\partial}{\partial t} \right] i(x, t) = - \frac{\partial}{\partial x} e(x, t)$$

⇒A eq.(7) mostra que há **queda de corrente** com a distância x na linha devido à existência de tensão nos elementos paralelos (de fuga) da linha, ou seja G e C . São correntes que retornam antes do sinal no fim da linha.

$$\left[G + C \frac{\partial}{\partial t} \right] e(x, t) = - \frac{\partial}{\partial x} i(x, t)$$

Equações diferenciais da linha expressas somente em função da tensão ou somente em função da corrente

⇒ Diferenciando-se a eq.(5) em relação a x , e a eq.(7) em relação a t , para eliminar a corrente.

$$\boxed{\left[R + L \frac{\partial}{\partial t} \right] i(x,t) = - \frac{\partial}{\partial x} e(x,t)}$$

$$R \frac{\partial}{\partial x} i(x,t) + L \frac{\partial^2}{\partial x \partial t} i(x,t) = - \frac{\partial^2}{\partial x^2} e(x,t) \quad (8)$$

$$\boxed{\left[G + C \frac{\partial}{\partial t} \right] e(x,t) = - \frac{\partial}{\partial x} i(x,t)}$$

$$G \frac{\partial}{\partial t} e(x,t) + C \frac{\partial^2}{\partial t^2} e(x,t) = - \frac{\partial^2}{\partial x \partial t} i(x,t) \quad (9)$$

Equações diferenciais da linha expressas somente em função da tensão ou somente em função da corrente

⇒ Substituindo-se (9) em (8) e utilizando para o 1º termo de corrente de (8) o seu valor em tensão fornecido pela eq. (7), temos:

$$-RGe(x,t) - RC \frac{\partial}{\partial t} e(x,t) - LG \frac{\partial}{\partial t} e(x,t) - LC \frac{\partial^2}{\partial t^2} e(x,t) + \frac{\partial^2}{\partial x^2} e(x,t) = 0 \quad (10)$$

⇒ Rearranjando (10) e omitindo a dependência (x,t) para uma melhor visualização, temos:

$$\frac{\partial^2 e}{\partial x^2} - LC \frac{\partial^2 e}{\partial t^2} - (RC + LG) \frac{\partial e}{\partial t} - RG \cdot e = 0 \quad (11)$$

⇒ **Equações diferenciais da linha expressas somente em função da tensão ou somente em função da corrente**

⇒ De forma análoga, pode-se obter uma eq. diferencial parcial só em função da corrente, diferenciando-se (5) em relação a t e e (7) em relação a x. O resultado é :

$$\frac{\partial^2 i}{\partial x^2} - LC \frac{\partial^2 i}{\partial t^2} - (RC + LG) \frac{\partial i}{\partial t} - RG \cdot i = 0 \quad (12)$$

⇒ As eqs. (11) e (12) são conhecidas como equações diferenciais parciais de onda.

Linha não dissipativa ideal ou sem perdas

⇒ Nessa condição temos: $R = G = 0$

⇒ Neste caso, as eqs. (11) e (12) se simplificam para:

$$\frac{\partial^2}{\partial x^2} e(x, t) = LC \frac{\partial^2}{\partial t^2} e(x, t) \quad (13)$$

$$\frac{\partial^2}{\partial x^2} i(x, t) = LC \frac{\partial^2}{\partial t^2} i(x, t) \quad (14)$$

⇒ Verifiquemos que uma solução para a eq. (13) é:

$$e(x, t) = f_1(t - \sqrt{LC} x) \quad (15)$$

⇒ Onde f_1 é qualquer função unívoca do argumento $(t - \sqrt{LC} x)$. Além disso f_1 tem dimensão de tensão (dada em volts, no sistema internacional).

$$\frac{\partial^2}{\partial x^2} e(x, t) = LC \frac{\partial^2}{\partial t^2} e(x, t)$$

Linha não dissipativa ideal/sem perdas

⇒ Vejamos se a eq. (15) é uma solução da eq. (13).

$$\frac{\partial}{\partial x} e(x, t) = -\sqrt{LC} f_1' (t - \sqrt{LC} x) \quad (16)$$

⇒ onde f_1' significa a derivada de f_1 em relação ao argumento composto $t - \sqrt{LC} x$

$$\frac{\partial^2}{\partial x^2} e(x, t) = LC f_1'' (t - \sqrt{LC} x) \quad (17)$$

⇒ que é o 1º membro da eq. (13).

$$\frac{\partial^2}{\partial x^2} e(x,t) = LC f_1''(t - \sqrt{LC} x)$$

⇒ O 2º membro da eq. (13) fica:

$$LC \frac{\partial^2}{\partial t^2} e(x,t) = LC \frac{\partial^2}{\partial t^2} f_1(t - \sqrt{LC} x) = LC f_1''(t - \sqrt{LC} x) \quad (18)$$

⇒ Comparando (17) com (18), observa-se que a expressão (15) é realmente uma solução para a eq. (13).

⇒ $e(x,t) = f(t - \sqrt{LC} x)$ corresponde a uma onda de tensão propagando-se para a direita (na direção de x crescente).

⇒ **Linha não dissipativa ideal ou sem perdas**

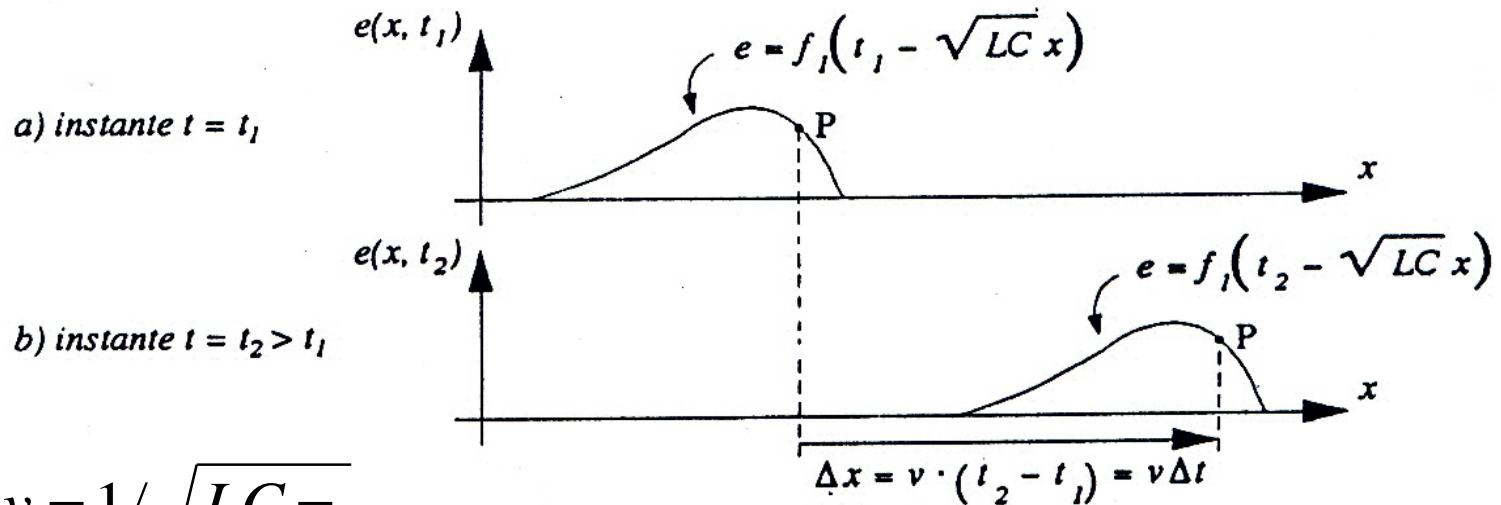
⇒ A função f_1 é a forma de onda que se propaga e tem a ver, na verdade, com o sinal que foi injetado na linha. Note que para $x = 0$ a eq.(15) fornece

$$e(0,t) = f_1(t) \quad (19)$$

⇒ ou seja, a tensão no início da linha (em $x = 0$) é a função f_1 , que representa a forma do sinal injetado na linha. A eq. (19) é pois, uma condição de contorno para a solução da tensão $e(x,t)$ na linha.

⇒ **Linha não dissipativa ideal ou sem perdas**

⇒ Para efeito de visualização do fenômeno de onda, suponha um caso genérico para f_1 , como diagramado abaixo:



⇒ onde $v = 1/\sqrt{LC} =$

Perturbação de tensão viajando na linha ideal.

⇒ **Linha não dissipativa ideal ou sem perdas**

⇒ Suponha que haja um observador montado na onda, no ponto marcado P. Ele deve ver a perturbação (onda) parada. O argumento $t - \sqrt{LC}x$ permanece constante para ele, ou seja:

$$t - \sqrt{LC}x = K \quad (20)$$

⇒ Fazendo-se a derivada em relação ao tempo da eq.(20) tem-se:

$$1 - \sqrt{LC} \frac{dx}{dt} = 0 \quad \therefore \frac{dx}{dt} = v = 1 / \sqrt{LC} \text{ [m / s]} \quad (21)$$

⇒ **Linha não dissipativa ideal ou sem perdas**

⇒ A eq. (21) indica que a perturbação ou onda se move para a direita (x crescente) com a velocidade de propagação indicada em (21).

⇒ Observe de (20) que, se o tempo t aumenta (o tempo passa), x deve crescer para que se mantenha a constante K .

⇒ **Linha não dissipativa ideal ou sem perdas**

⇒ Como num problema de causa e efeito observa-se que associada à onda de tensão expressa na eq. (15), deve existir uma correspondente onda de corrente. Tentemos uma correspondente onda de corrente para a direita como sendo:

$$i(x,t) = \frac{f_1(t - \sqrt{LC} x)}{Z_0} \quad (22)$$

⇒ onde Z_0 deve ser determinada.

⇒ **Linha não dissipativa ideal ou sem perdas**

⇒ Substituindo (22) na eq. (5) (com $R = 0$) tem-se:

$$\boxed{\left[R + L \frac{\partial}{\partial t} \right] i(x,t) = - \frac{\partial}{\partial x} e(x,t)}$$

$$L \frac{\partial}{\partial t} \left[\frac{f_1(t - \sqrt{LC} x)}{Z_0} \right] = - \frac{\partial}{\partial x} f_1(t - \sqrt{LC} x) \Rightarrow$$

$$\Rightarrow \frac{L}{Z_0} f_1'(t - \sqrt{LC} x) = \sqrt{LC} f_1'(t - \sqrt{LC} x) \quad (23)$$

⇒ **Linha não dissipativa ideal ou sem perdas**

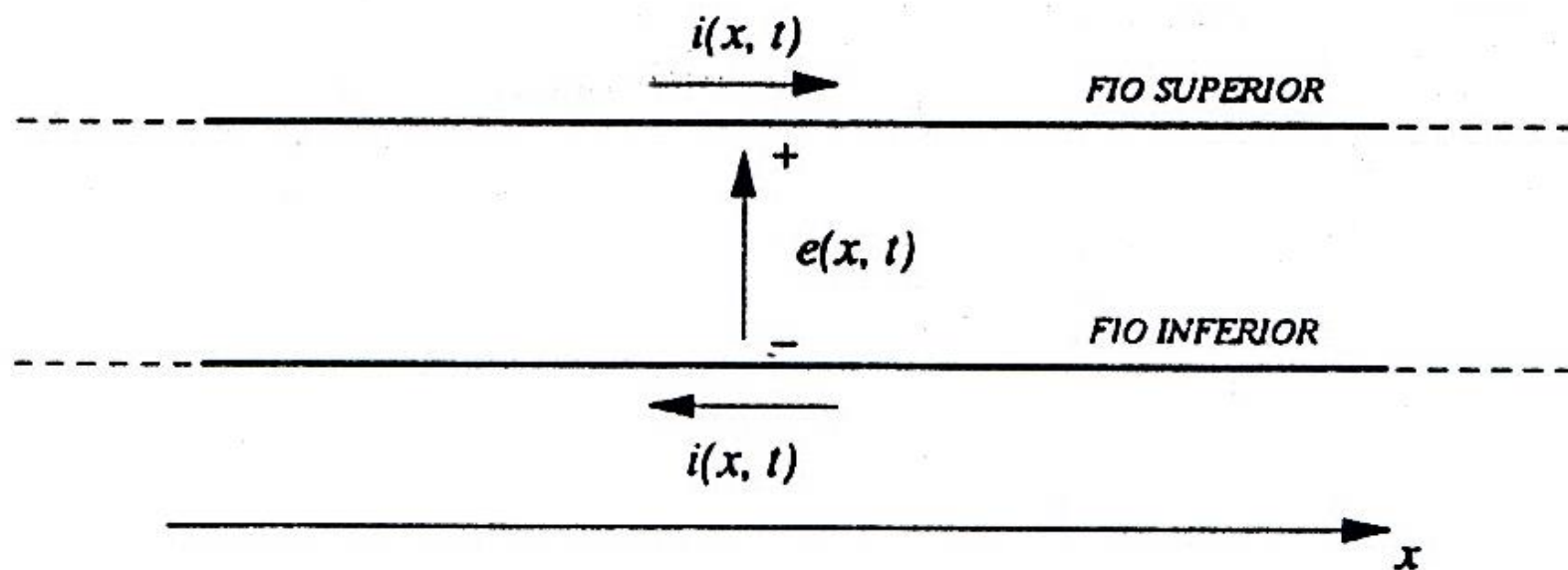
⇒ Para que (23) seja verdadeira, é necessário que a constante arbitrada Z_0 verifique a relação: $L/Z_0 = \sqrt{LC}$ ou $Z_0 = L/\sqrt{LC}$

⇒ Ou seja, $Z_0 = R_0 = \sqrt{L/C}$ $[\Omega]$ (24)

⇒ A grandeza Z_0 é conhecida como a **impedância característica** da linha sem perdas, e é dada em Ω quando L é dado em H/m, e C em F/m. Para a linha sem perdas, como se nota de (24), Z_0 é um número puramente real, ou seja, $Z_0 = R_0$, pois L e C são sempre números reais positivos. Desta forma a expressão (22) é de fato a solução de corrente associada à solução de tensão expressa na eq.(15).

⇒ Linha não dissipativa ideal ou sem perdas

⇒ Nota sobre a convenção de sinais:



⇒ Fig. 3 – Convenção de sinais para tensão e corrente na linha

⇒ **Linha não dissipativa ideal ou sem perdas**

⇒ As soluções já encontradas de tensão (eq.(15)) e a sua correspondente solução de corrente (eq.(22)) são ambas perturbações que viajam para a direita (x crescente, na notação da Fig.3). Para que as soluções de $e(x,t)$ e de $i(x,t)$ se completem é necessário incluir também a possibilidade de se ter onda viajando para a esquerda, ou seja, no sentido de x decrescente. Sendo assim, vamos incluir também a solução abaixo para a eq. diferencial (13).

$$e(x,t) = f_2(t + \sqrt{LC} x) \quad (25)$$

⇒ **Linha não dissipativa ideal ou sem perdas**

⇒ A correspondente solução para a corrente pode ser encontrada se imaginarmos que esta solução difere de (25) apenas por uma constante, ou seja,

$$i(x,t) = \frac{f_2(t + \sqrt{LC} x)}{K} \quad (26)$$

⇒ Uma substituição de (26) na eq.(5) (com $R = 0$) indica que (26) é a correspondente solução de corrente desde que a constante K seja igual a $-Z_0$. A solução procurada para a corrente que viaja para a esquerda é então :

$$i(x,t) = -\frac{f_2(t + \sqrt{LC} x)}{Z_0} \quad (27)$$

⇒ Depois de toda esta discussão só nos resta colecionarmos as várias soluções de tensão e de corrente para as eqs. Diferenciais parciais (13) e (14) da linha ideal, ou seja:

$$\begin{array}{ccc}
 \frac{e(x,t) = f_1(t - \sqrt{LC} x)}{\text{Propagação p/ direita}} & + & \frac{f_2(t + \sqrt{LC} x)}{\text{Propagação p/ esquerda}} \\
 \end{array} \quad (28)$$

$$\begin{array}{ccc}
 \frac{i(x,t) = \frac{1}{Z_0} [f_1(t - \sqrt{LC} x) - f_2(t + \sqrt{LC} x)]}{\text{Propagação p/ direita}} & - & \frac{f_2(t + \sqrt{LC} x)}{\text{Propagação p/ esquerda}} \\
 \end{array} \quad (29)$$

⇒ O sinal negativo para a 2ª parcela de (29) advém da convenção de sinais de tensão e de corrente já adotada.

⇒ **Reflexões na linha sem perdas. Coeficientes de reflexão de tensão e de corrente**

⇒ Às soluções (28) e (29) encontradas na secção anterior deve-se fazer uma consideração. Há obviamente a possibilidade de que f_2 seja uma função completamente independente de f_1 . Este seria o caso de se ter duas fontes de tensão independentes; f_1 no lado esquerdo ($x = 0$) de uma linha finita, e f_2 no lado direito ($x = \ell$) desta mesma linha. Como o sistema é linear, a solução completa da tensão $e(x,t)$ na linha é a soma das soluções obtidas individualmente.

⇒ **Reflexões na linha sem perda. Coeficientes de reflexão de tensão e de corrente**

⇒ Entretanto, nesta seção, estamos interessados no caso em que f_2 não é uma função qualquer independente de f_1 . Pelo contrário, as perturbações f_1 e f_2 podem ser fortemente dependentes, uma vez que uma pode ser simplesmente a reflexão da outra num ponto qualquer de descontinuidade da linha.

⇒ **Reflexões na linha sem perda. Coeficientes de reflexão de tensão e de corrente**

⇒ Antes de se atacar o problema das reflexões na linha ideal, façamos uma notação mais adequada, ou seja:

$$f_1(t - \sqrt{LC} x) = e^+(x, t) \quad \text{tensão p/ a direita} \quad (30)$$

$$f_2(t + \sqrt{LC} x) = e^-(x, t) \quad \text{tensão p/ a esquerda} \quad (31)$$

$$\frac{f_1(t - \sqrt{LC} x)}{Z_0} = \frac{e^+(x, t)}{Z_0} = i^+(x, t) \quad \text{corrente p/ a direita} \quad (32)$$

$$\frac{-f_2(t + \sqrt{LC} x)}{Z_0} = \frac{-e^-(x, t)}{Z_0} = i^-(x, t) \quad \text{corrente p/ a direita} \quad (33)$$

⇒ Reflexões na linha sem perda. Coeficientes de reflexão de tensão e de corrente

⇒ Suponhamos uma linha de transmissão ideal terminada em $x = \ell$ [m] por um resistor de carga R_c [Ω], como ilustrado na Fig. 4.

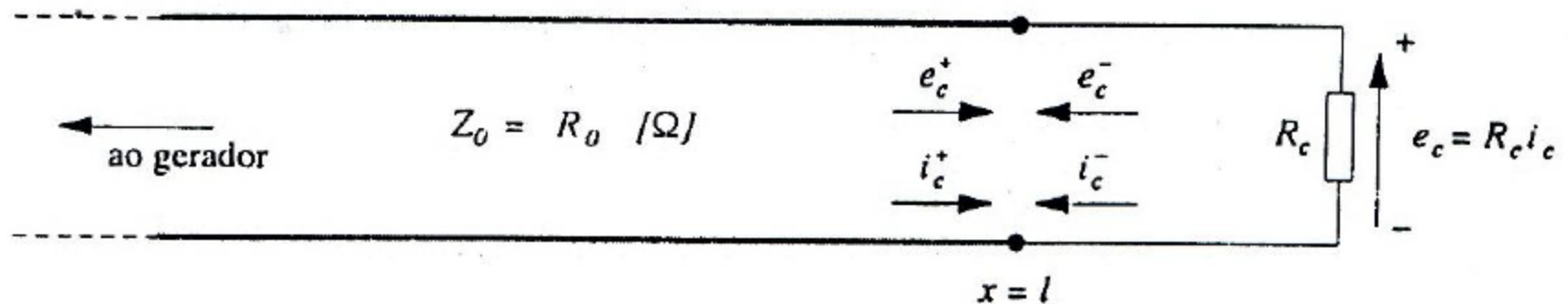


Fig.4 - Reflexão na carga.

⇒ **Reflexões na linha sem perda. Coeficientes de reflexão de tensão e de corrente**

⇒ As tensões e as correntes totais na carga devem estar relacionadas pela lei de Ohm:

$$\frac{e_c}{i_c} = R_c \quad (34)$$

$$\therefore \frac{e_c^+ + e_c^-}{i_c^+ + i_c^-} = R_c \quad (35)$$

⇒ Onde o índice “c” significa tensões e correntes na posição da carga.

⇒ **Reflexões na linha sem perda. Coeficientes de reflexão de tensão e de corrente**

⇒ Usando as relações (32) e (33), tem-se:

$$\frac{e_c^+ + e_c^-}{\frac{e_c^+}{Z_0} - \frac{e_c^-}{Z_0}} = R_c \quad (35a)$$

⇒ Dividindo o numerador e o denominador por e_c^+ e rearranjando os termos, obtém-se :

$$\frac{e_c^-}{e_c^+} = \frac{R_c - Z_0}{R_c + Z_0} \quad (35b)$$

⇒ **Reflexões na linha sem perda. Coeficientes de reflexão de tensão e de corrente**

⇒ A relação e_c^- / e_c^+ é conhecida como coeficiente de reflexão de tensão Γ_c na posição da carga, ou seja:

$$\Gamma_c = \frac{e_c^-}{e_c^+} = \frac{R_c - Z_0}{R_c + Z_0} \quad (36)$$

⇒ Na eq. (36) nota-se que o único valor de R_c que evita as reflexões é $R_c = Z_0 = R_0$ [Ω]. Neste caso, $\Gamma_c = 0$ e $e_c^- = \Gamma_c \cdot e_c^+ = 0$

⇒ **Reflexões na linha sem perda. Coeficientes de reflexão de tensão e de corrente**

⇒ Para os casos extremos de $R_c = 0$ (curto) e $R_c = \infty$ (aberto) tem-se $\Gamma_c = -1$ e $\Gamma_c = +1$, respectivamente. Para estas duas situações tem-se:

⇒ $e_c^- = -e_c^+$ e $e_c^- = e_c^+$, respectivamente

⇒ O caso de terminação em curto $R_c = 0$ [Ω] pode ser entendido da seguinte forma. Se incidir uma tensão $e_c^+ = 1V$ na carga, há a criação instantânea de uma tensão refletida e de valor $-1V$, ou seja, de valor contrário uma vez que no curto $\Gamma_c = -1$. A tensão total no curto deve ser igual a zero.

⇒ **Reflexões na linha sem perda. Coeficientes de reflexão de tensão e de corrente**

⇒ O coeficiente de reflexão de corrente Γ_c' na posição da carga pode também ser definido de forma análoga àquela já feita para tensão. Pode-se mostrar que a expressão de Γ_c' é dada por :

$$\Gamma_c' = \frac{i_c^-}{i_c^+} = \frac{Z_0 - R_c}{R_c + Z_0} = -\Gamma_c \quad (37)$$

⇒ as considerações de reflexão de corrente, para os vários casos de R_c são semelhantes àsquelas já feitas para a tensão.

⇒ **Coeficientes de transmissão de tensão e de corrente na posição da carga.**

⇒ Referindo-se novamente à Fig. 4, pode-se definir o coeficiente de transmissão de tensão na posição da carga como sendo:

$$\Gamma_c = \frac{\text{tensão total}}{\text{tensão incidente}} = \frac{e_c}{e_c^+} \quad (38)$$

⇒ Para obter Γ_c , vamos utilizar a relação abaixo já obtida posteriormente:

$$\frac{e_c}{\frac{e_c^+}{Z_0} - \frac{e_c^-}{Z_0}} = R_c$$

⇒ **Coeficientes de transmissão de tensão e de corrente na posição da carga.**

⇒ Vamos dividi-la por e_c^+

$$\frac{e_c / e_c^+}{\frac{1}{Z_0} - \frac{e_c^-}{e_c^+} \cdot \frac{1}{Z_0}} = R_c$$

$$\therefore \tau_c = \frac{e_c}{e_c^+} = \frac{R_c}{Z_0} (1 - \Gamma_c) \quad (39)$$

⇒ **Coeficientes de transmissão de tensão e de corrente na posição da carga.**

⇒ Usando o valor de Γ_c já obtido na eq. (36), tem-se:

$$\tau_c = \frac{e_c}{e_c^+} = \frac{2R_c}{R_c + Z_0} \quad (40)$$

⇒ O coeficiente de transmissão de corrente τ_c' na posição da carga pode ser obtido de modo análogo, encontrando-se :

$$\tau_c' = \frac{i_c}{i_c^+} = \frac{2Z_0}{R_c + Z_0} \quad (41)$$

⇒ Diagrama "Zig-Zag" para as reflexões na linha.

⇒ As múltiplas reflexões que podem ocorrer numa linha podem ser melhor visualizadas, fazendo uso do chamado diagrama "zig-zag". Este diagrama será explicado mediante a aplicação do mesmo problema simples.

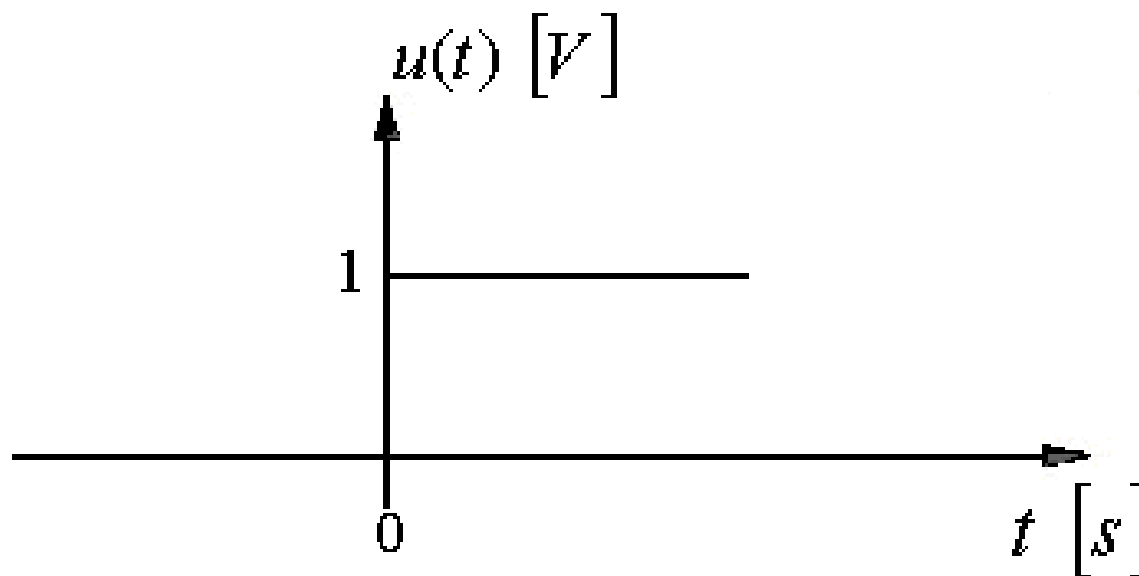
⇒ Seja o caso de uma linha sem perdas $R = G = 0$ (ver Fig. 6) excitada por um degrau de tensão de amplitude E volts, no instante $t = 0$ e na posição x (entrada da linha).

⇒ A condição de contorno é então:

$$e(0, t) = \frac{E}{2} \cdot u(t) [V] \quad (42)$$

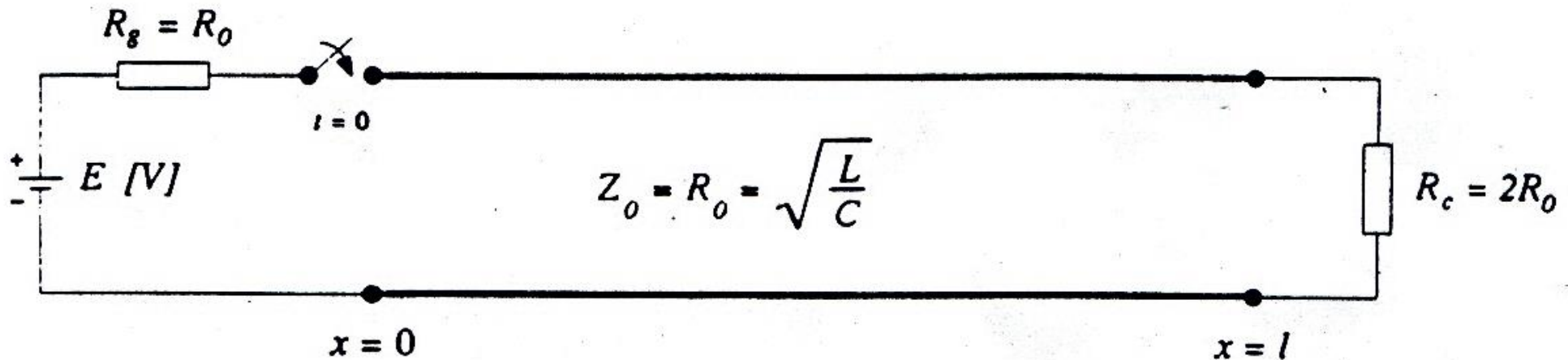
⇒ onde $u(t)$ é a notação para o degrau unitário.

⇒ Diagrama "Zig-Zag" para as reflexões na linha.



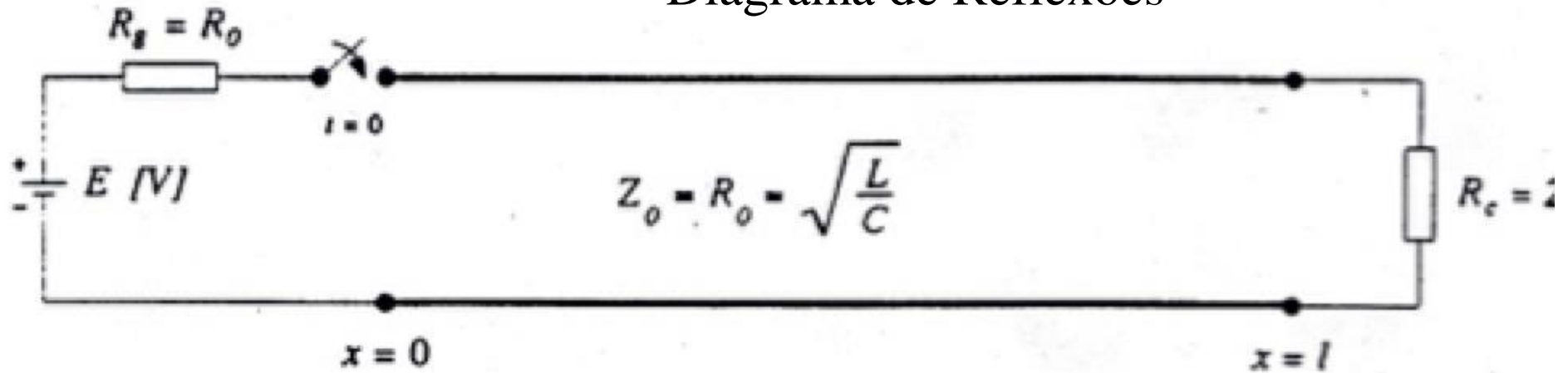
⇒ Fig. 5 – Degrau unitário de tensão ocorrendo em $t = 0$.

⇒ Diagrama "Zig-Zag" para as reflexões na linha.

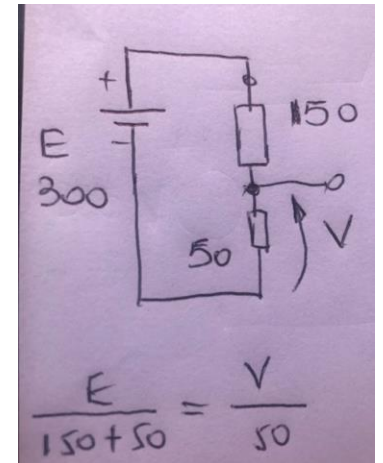


⇒ Fig. 6 – Exemplo para aplicação do digrama "zig-zag".

Diagrama de Reflexões



$$E=300 \text{ V} \quad Z_0 = 50 \, \Omega, \quad R_c = R_g = 150 \, \Omega$$



$$\Gamma'_c = \frac{i_c^-}{i_c^+} = \frac{Z_0 - R_c}{R_c + Z_0} = -\Gamma_c$$

$$\Gamma_s = 0.5$$

$$\Gamma_r = 0.5$$

$$v_s = 75 \text{ volts}$$

$$v_r = 0$$

$$v_s = 75 + 37.5 + 18.75 = 131.25 \text{ volts}$$

$$v_r = 75 + 37.5 = 112.5 \text{ volts}$$

$$v_s = 131.25 + 9.375 + 4.6875 = 145.3125 \text{ volts}$$

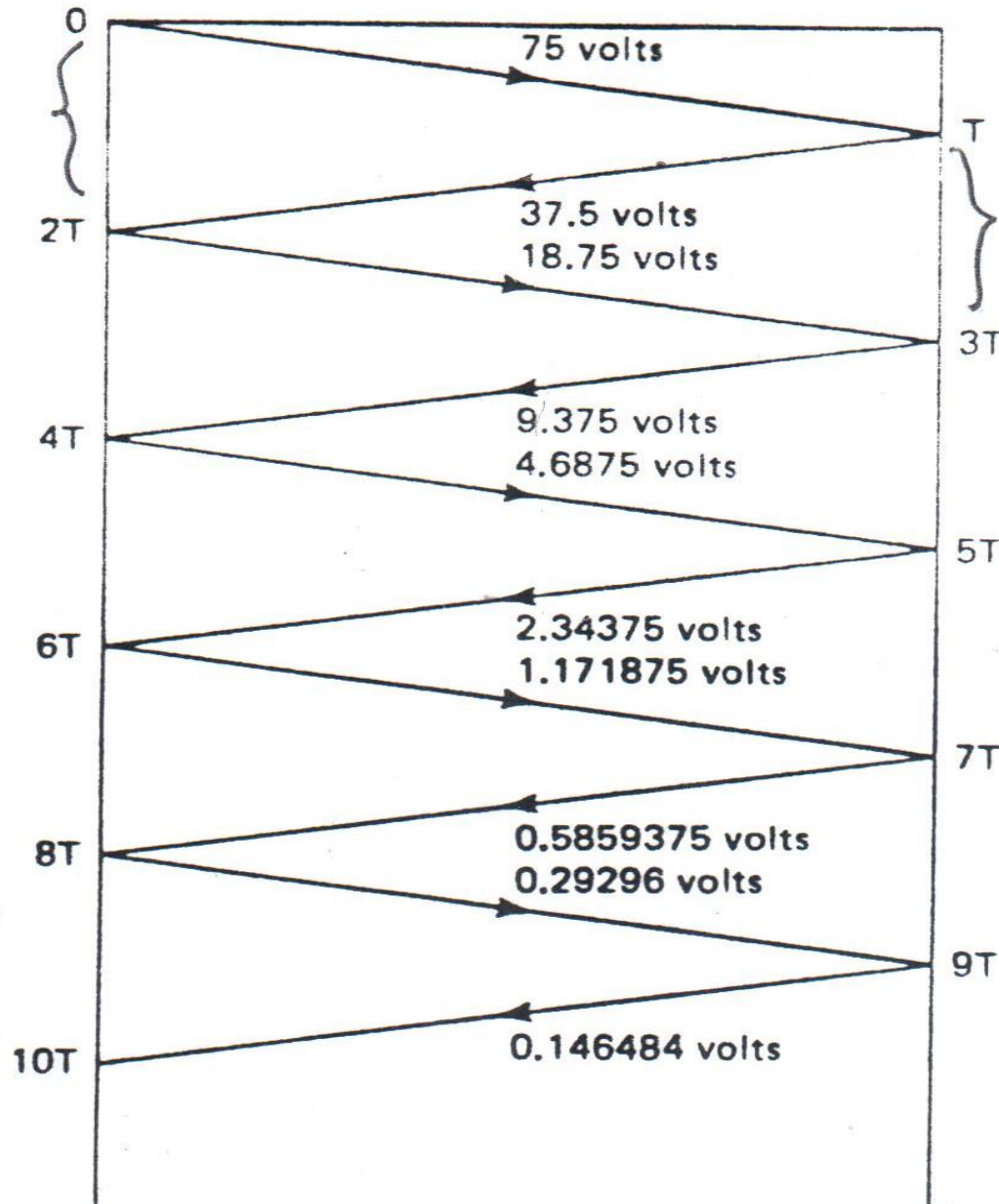
$$v_r = 112.5 + 18.75 + 9.375 = 140.625 \text{ volts}$$

$$v_s = 145.31 + 2.34375 + 1.171875 = 148.828 \text{ volts}$$

$$v_r = 140.625 + 4.6875 + 2.34375 = 147.65625 \text{ volts}$$

$$v_s = 148.828 + 0.5859375 + 0.2929687 = 149.707 \text{ volts}$$

$$v_r = 147.65625 + 1.171875 + 0.5859375 = 149.414062 \text{ volts}$$



SENDING END

RECEIVING END

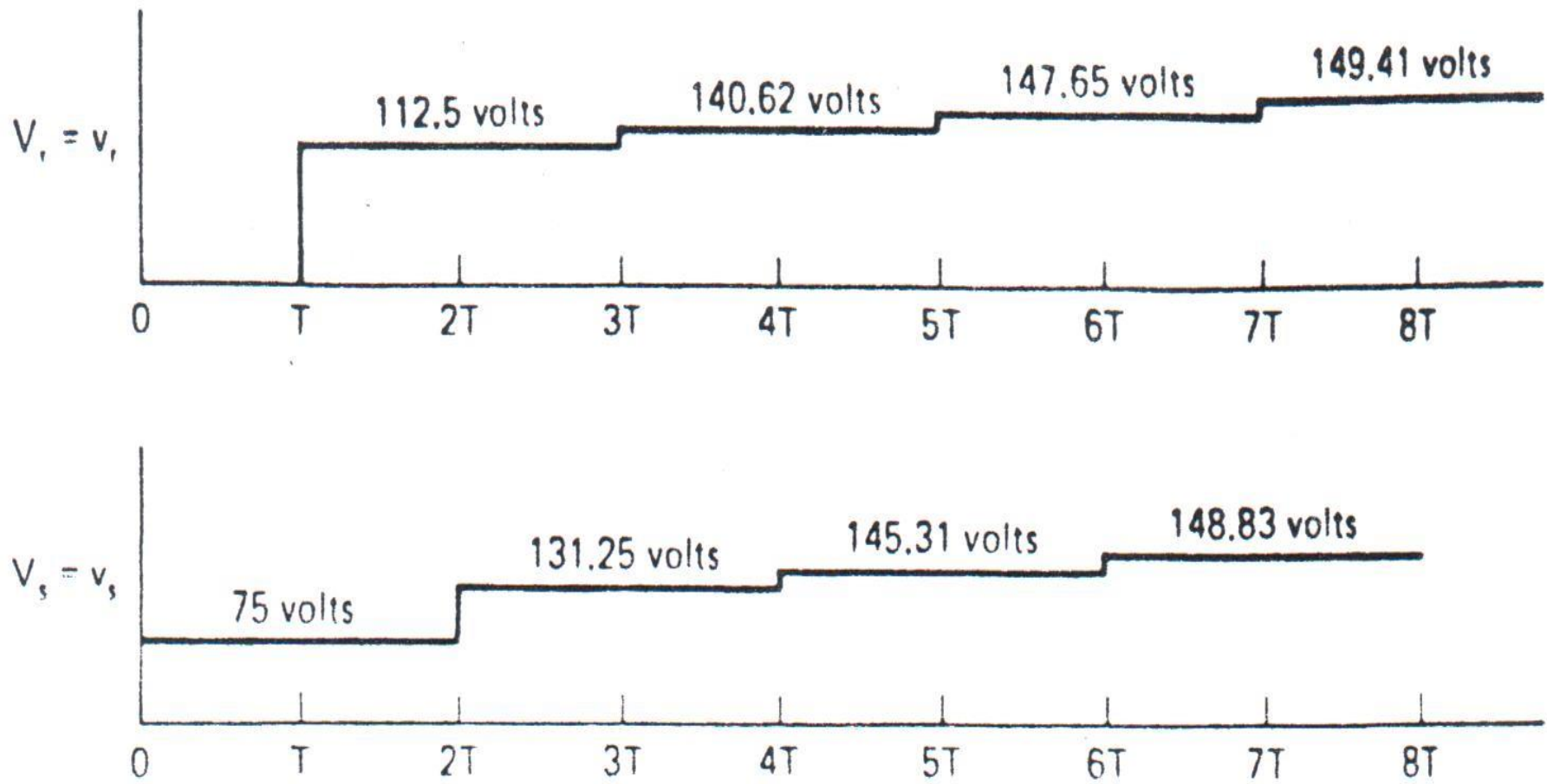


Figure 8-9. V_1 and V_2 as functions of time.

$$\Gamma_{s(\text{current})} = -\Gamma_{s(\text{voltage})} = -0.05$$

$$\Gamma_{r(\text{current})} = -\Gamma_{r(\text{voltage})} = -0.5$$

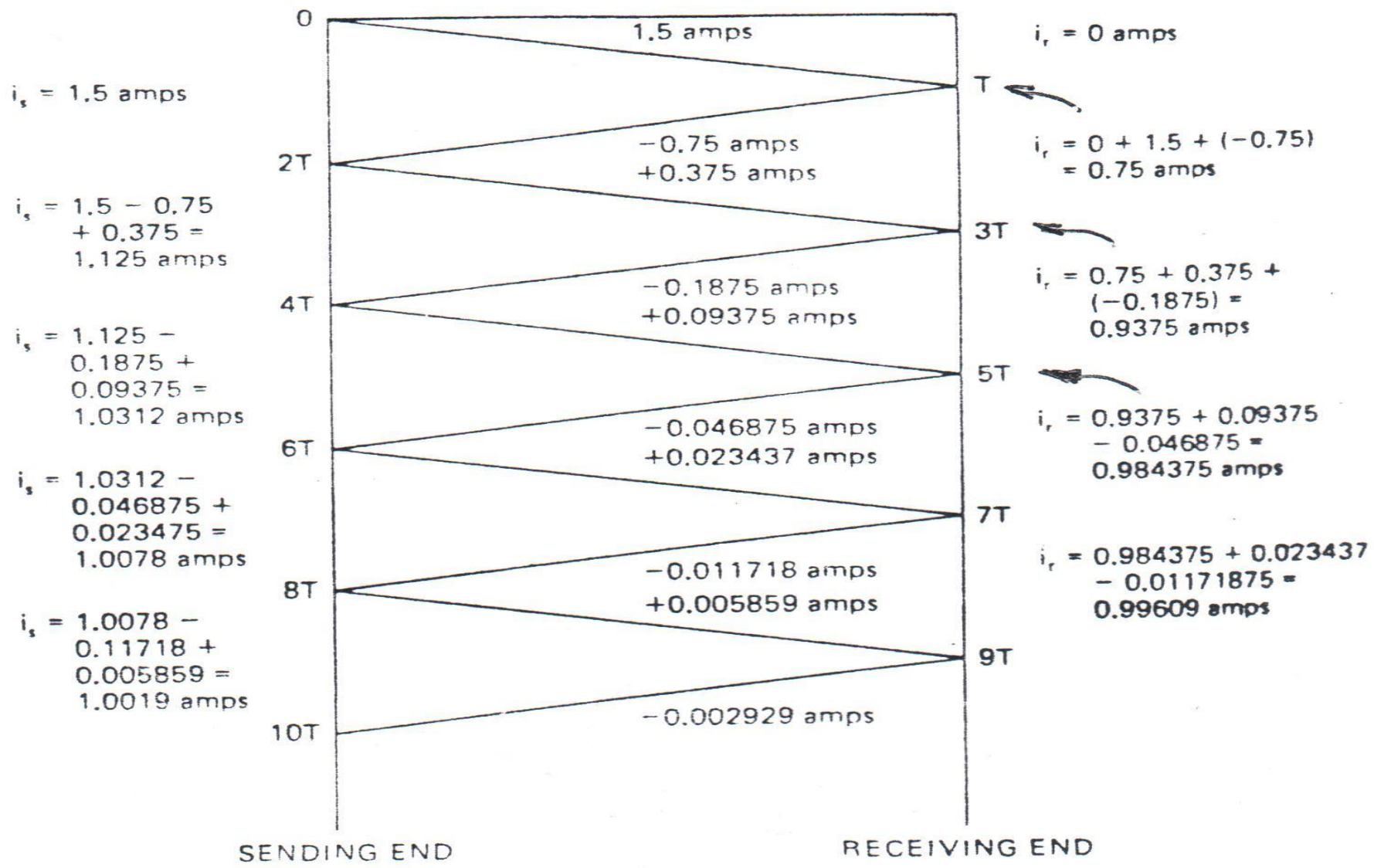


Figure 8-10. Current Bounce Diagram.

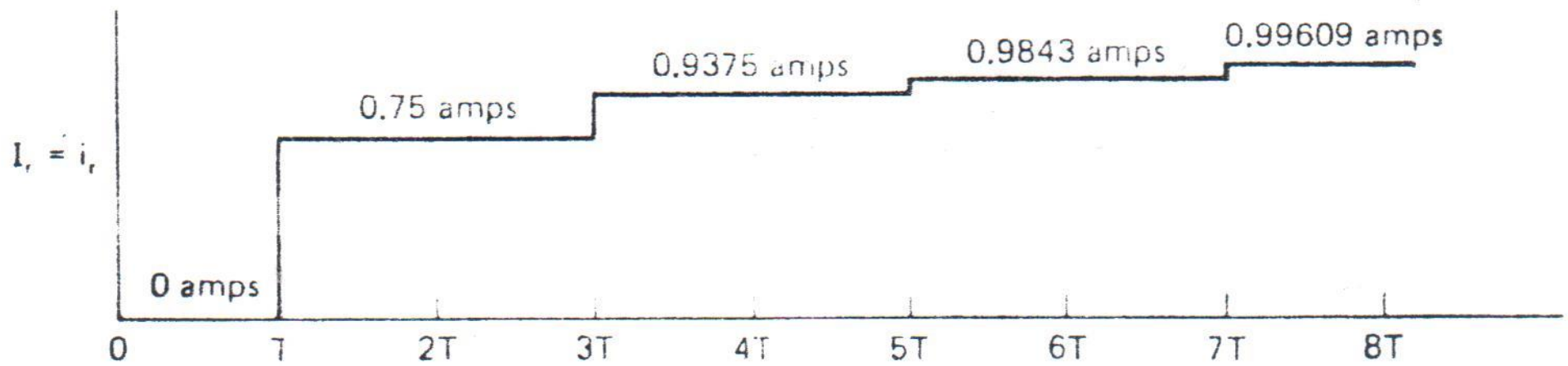
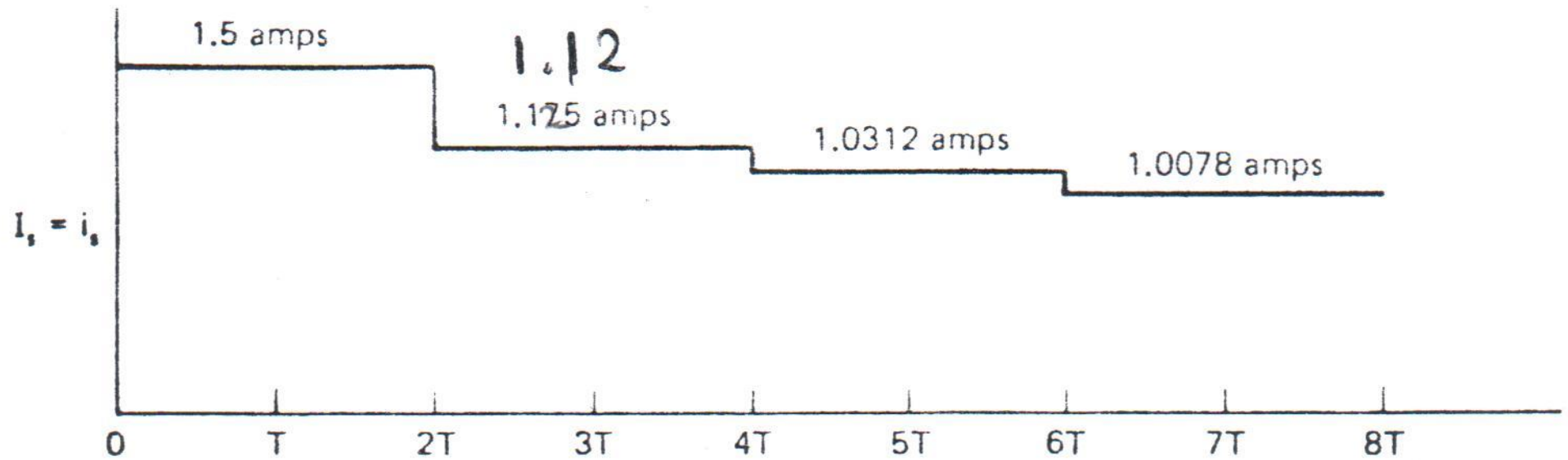


Figure 8-11. I_s and I_r as functions of time.

EXEMPLO Diagrama "Zig-Zag" para as reflexões na linha.

⇒ A fonte de tensão é real, e tem uma resistência interna R_g que, no exemplo dado, coincide com a impedância (ou resistência) característica da linha. Ou seja, $R_g = R_0 = \sqrt{L/C}$ [Ω]. Também, neste caso, o resistor de carga vale $R_c = 2R_0$ [Ω].

⇒ Uma vez que a linha fornece ondas como solução para a tensão e para a corrente, o degrau gerado na boca da linha sai viajando pela linha, com a velocidade de propagação $v = 1/\sqrt{LC}$ [m/s]

⇒ Depois de decorridos $t = T = \frac{l}{v}$ [s] o degrau de tensão deve atingir a carga colocada em $x = \ell$.

⇒ Diagrama "Zig-Zag" para as reflexões na linha.

⇒ Para a construção do diagrama "zig-zag" de tensão é necessário obter os coeficientes de reflexão na posição do gerador (Γ_g).

⇒ No exemplo dado tem-se:

$$\Gamma_c = \frac{R_c - Z_0}{R_c + Z_0} = \frac{2R_0 - R_0}{2R_0 + R_0} = \frac{R_0}{3R_0} = \frac{1}{3} \quad (43)$$

$$\Gamma_g = \frac{R_g - Z_0}{R_g + Z_0} = \frac{R_0 - R_0}{R_0 + R_0} = 0 \quad (44)$$

⇒ Diagrama "Zig-Zag" para as reflexões na linha.

⇒ O diagrama "zig-zag" de tensão está ilustrado na Fig. 7.a. O diagrama de corrente pode ser visto na Fig. 7.b.

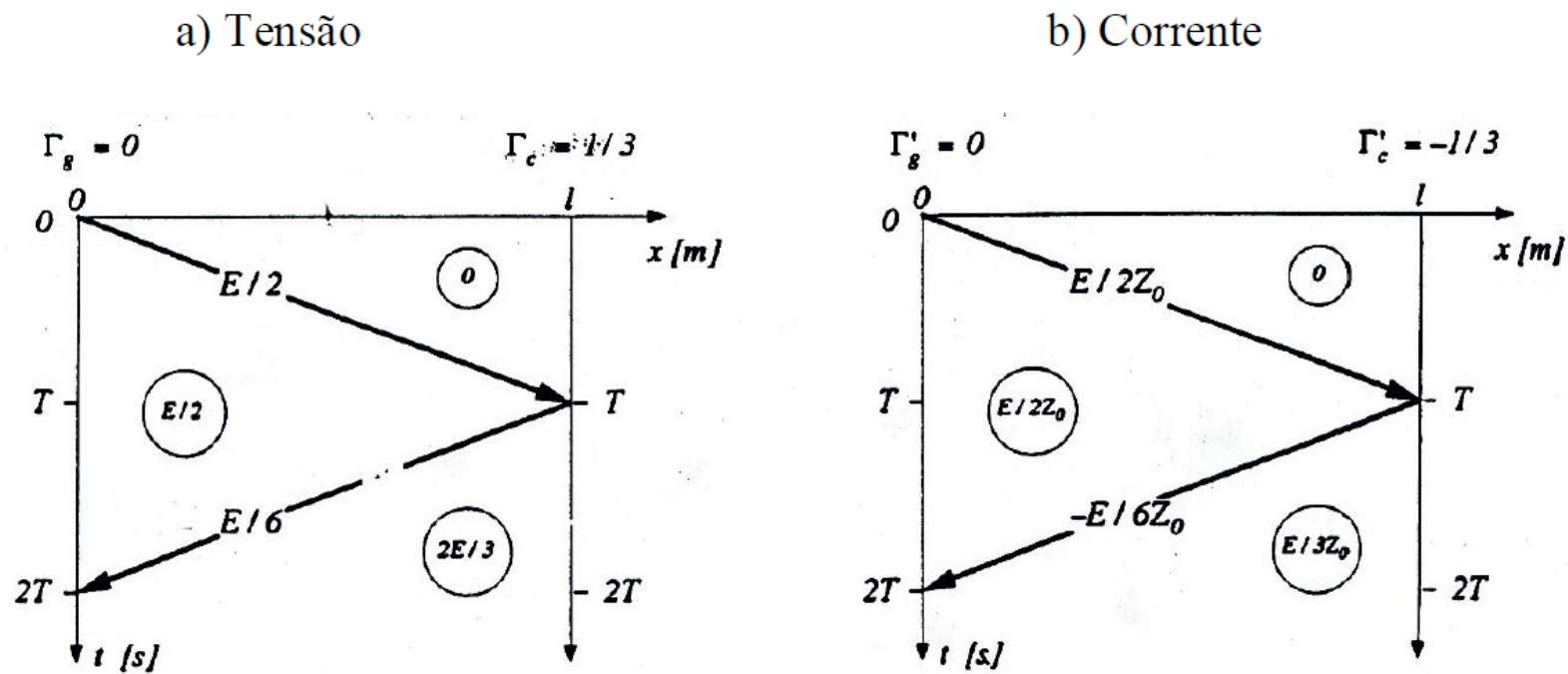


Fig. 7 - Diagrama "zig-zag" para o problema da Fig.6.

⇒ **Diagrama “Zig-Zag” para as reflexões na linha.**

⇒ Como se nota na Fig. 7, o diagrama “zig-zag” é na verdade um diagrama espaço x tempo, onde a distância x é colocada na horizontal, desde x = 0 até o final da linha x = ℓ. O tempo, por outro lado, é marcado na vertical, e cresce para baixo na Fig.7.

⇒ No ponto x = 0 e t = 0 é iniciado o vai-e-vem das ondas, para este problema em questão. A tensão inicial injetada na linha é facilmente obtida através de uma divisão resistiva da tensão E[V] da bateria entre o valor $Z_0 = R_0$ [Ω] “mostrado” pela linha e a sua própria resistência interna R_g , ou seja :

$$e_g^+ = E \cdot \frac{R_0}{R_g + R_0} \quad (45)$$

⇒ Diagrama "Zig-Zag" para as reflexões na linha.

⇒ Como $R_g = R_0$ (o gerador está casado com a linha) a eq. (45) fornece o valor inicial injetado $e_g^+ = E/2 [V]$. O degrau de amplitude $E/2$ viaja então pela linha e, depois de T [s], atinge o resistor de carga $R_c = 2R_0$. Aí ocorre então uma reflexão.

⇒ A tensão incidente $E/2$ multiplicada por $\Gamma_c = 1/3$ fornece então o valor $E/6$ para a tensão degrau, que retorna ao gerador depois de T segundos adicionais, ou seja, no instante $t = 2T$ [s]. Neste instante, como $R_g = R_0 [\Omega]$, $\Gamma_g = 0$, não há mais ondas refletidas.

⇒ **Diagrama "Zig-Zag" para as reflexões na linha.**

⇒ Para o diagrama "zig-zag" de corrente o raciocínio é semelhante àquele já feito acima para a tensão. Obviamente, usa-se agora os coeficientes de reflexão de corrente Γ'_c e Γ'_g . O valor inicial de corrente é $E/2Z_0$, ou seja, a tensão inicial injetada dividida pela impedância característica $Z_0 = R_0$.

⇒ Os valores marcados por círculos são os valores de tensão e corrente já acumulados, após cada reflexão. Após cada reflexão, renova-se o valor da soma acumulada.

⇒ Finalmente deve-se observar que se Γ_g (ou Γ'_g) fosse diferente de zero no exemplo dado, os diagramas da Fig. 7 se estenderiam indefinidamente (não terminariam em $t = 2T$).

⇒ **Funções de tensão e de corrente em relação a x (espaço) e t (tempo).**

⇒ Os diagramas da Fig.7 constituem-se numa ferramenta simples e rápida para se determinar as funções $e(x,t_1)$ e $i(x,t_1)$ onde t_1 é um instante qualquer de interesse. Obtém-se, neste caso, as chamadas distribuições de tensão e de corrente (função só de x) fazendo-se um corte horizontal em $t = t_1$.

⇒ **Funções de tensão e de corrente em relação a x (espaço) e t (tempo).**

⇒ A Fig. 8.a ilustra a distribuição de tensão para $t = 0,5 T$.

⇒ A Fig. 8.b ilustra a distribuição de tensão para $t = 1,5 T$.

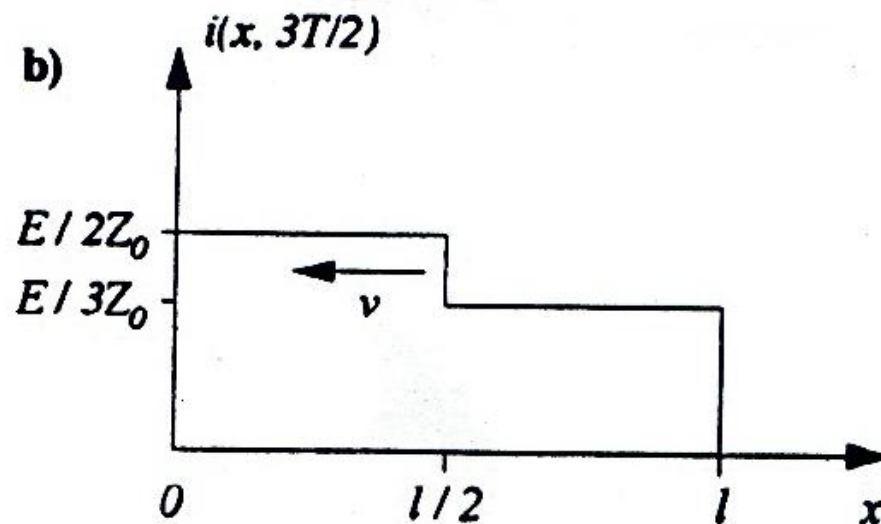
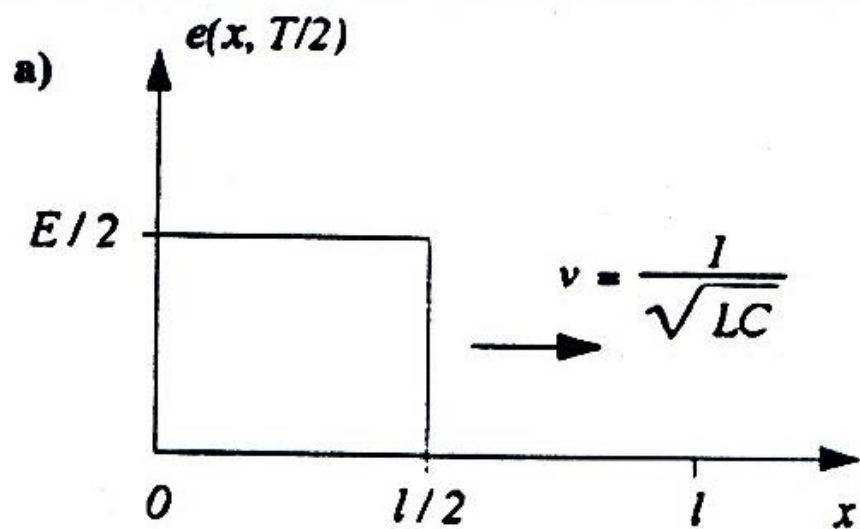


Fig. 8 - Instantâneos de tensão e corrente na linha para o exemplo dado.

⇒ **Funções de tensão e de corrente em relação a x (espaço) e t (tempo).**

⇒ Se por outro lado, for desejado as formas de onda $e(x_1, t)$ e $i(x_1, t)$ para uma posição $x = x_1$ qualquer na linha, basta fazer cortes verticais em $x = x_1$ nos diagramas da Fig.7.

⇒ A Fig. 9.1 mostra a forma de onda de tensão para $x = 0$. A Fig. 9.b ilustra a corrente para $x = l / 2$.

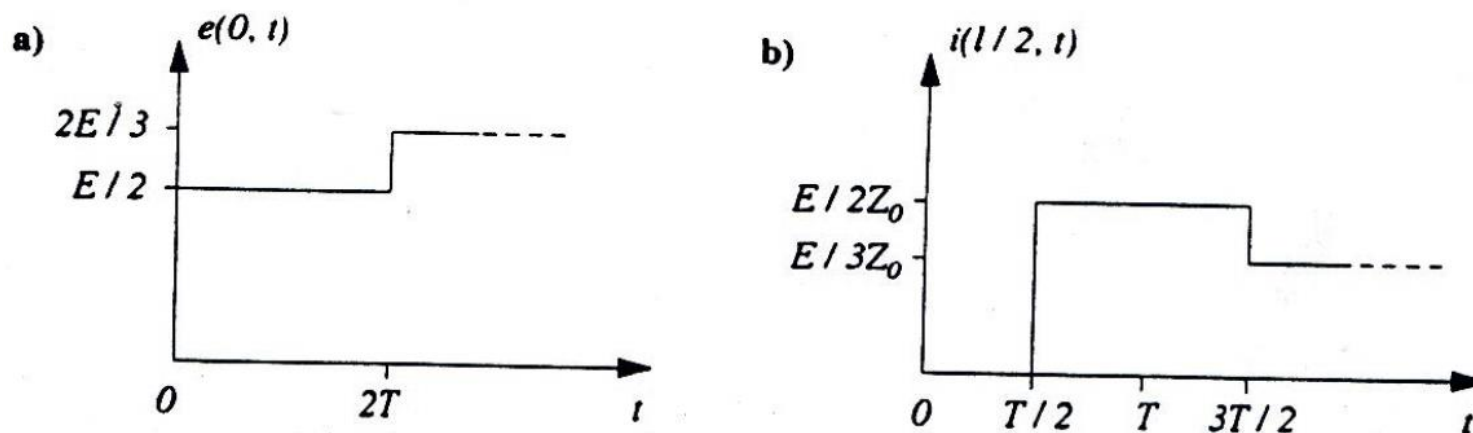


Fig. 9 - Formas de ondas de tensão e de corrente para o exemplo dado.

⇒ **Funções de tensão e de corrente em relação a x (espaço) e t (tempo).**

⇒ Finalmente, deve-se frisar aqui que os métodos de determinar tensões e correntes em função de x e de t vistos nas secções A.6 e A.7 são muito úteis para determinar a resposta da linha ideal a excitações em degrau. A resposta a um pulso retangular de amplitude A e duração t_0 , por exemplo, pode ser encontrada fazendo no mesmo diagrama “zig-zag” a resposta para o degrau $A u(t)$ bem como para o degrau atrasado - $Au(t - t_0)$. Uma ligeira reflexão mostra que a soma destes dois degraus conforma o pulso retangular desejado na entrada da linha. A acumulação das várias reflexões que ocorrem no diagrama fornece então as formas de tensão (e de corrente) em função de x e de t .

Linhas de Regime Estacionário Senoidal

Introdução

⇒O estudo de linha de transmissão em regime permanente senoidal é muito importante por várias razões. A existência de uma quantidade imensa de linhas de potência que operam em 60Hz ou 50 Hz pelo mundo já seria uma razão bem forte para tal estudo.

⇒Há, na verdade, uma razão principal para o estudo de linhas de transmissão em regime permanente senoidal. Graças aos estudos de Fourier, Laplace e outros, qualquer sinal real no tempo (*periódico ou não*) tem um espectro em frequência.

- ⇒ Os sinais periódicos são melhor tratados com o auxílio da Série de Fourier. Uma função periódica é decomposta num tom da frequência fundamental, bem como numa série infinita de tons senoidais harmônicos (*múltiplos inteiros da fundamental*) com suas respectivas amplitudes e fases.
- ⇒ Este fato dá origem ao chamado espectro de linhas ou de raias. Há dois espectros de maior interesse: o de amplitude e o de fase.
- ⇒ Os sinais não periódicos, por outro lado, são melhor tratados através da Integral ou Transformada de Fourier.
- ⇒ A diferença básica neste caso é que os espectros de amplitude e de fase são agora cheios ou contínuos, e não mais só de raias, como no caso dos sinais periódicos.

- ⇒ No momento, o que deve ficar claro é o fato de que pode-se encarar qualquer sinal real no tempo como tendo a sua contrapartida em frequência.
- ⇒ Qualquer sinal real pode ser encarado como sendo uma soma de infinitos tons senoidais eternos ($-\infty$ até $+\infty$) de certas amplitudes e fases. Esta soma deve reproduzir o valor da função (*do sinal*) para qualquer instante ($-\infty < t < \infty$).
- ⇒ Sendo assim, sabendo-se a resposta do sistema para o regime estacionário senoidal nas frequências de interesse, pode-se prever qual é a forma de onda do sinal na saída de tal sistema.

Solução Geral de tensão e Corrente na Linha em Regime Permanente Senoidal

⇒ Foram vistas as equações diferenciais válidas numa linha genérica:

Equação 5 

$$\frac{\partial e}{\partial x} = -Ri - L \frac{\partial i}{\partial t} \quad (\text{A.1})$$

Equação 7 

$$\frac{\partial i}{\partial x} = -Ge - C \frac{\partial e}{\partial t} \quad (\text{A.2})$$

- ⇒ Nas equações anteriores a tensão “e”, bem como a corrente “i” são funções de “x” e de “t”.
- ⇒ No regime estacionário senoidal as tensões e correntes são, como já visto em teoria de circuitos C.A., **as projeções de vetores ou fasores girantes**, ou seja:

$$e = \operatorname{Re}[E \cdot \exp(j\omega t)] \quad (\text{A.3})$$

$$i = \operatorname{Re}[I \cdot \exp(j\omega t)] \quad (\text{A.4})$$

⇒ Nas equações (A.3) e (A.4), E e I são as amplitudes da tensão e da corrente, respectivamente. Isto pode ser visualizado lembrando as identidades de Euler, e aplicando nas eqs. (A.3) e (A.4). Assim,

$$e = \operatorname{Re}\left[E \cdot \cos \omega t + jE \cdot \operatorname{sen} \omega t\right] = E \cdot \cos \omega t \quad (\text{A.5})$$

$$i = \operatorname{Re}\left[I \cdot \cos \omega t + jI \cdot \operatorname{sen} \omega t\right] = I \cdot \cos \omega t \quad (\text{A.6})$$

⇒ Nas equações (A.3) e (A.4), as quantidades entre parênteses são conhecidas como fasores girantes.

⇒ As quantidades conhecidas apenas como fasores são as quantidades (*reais ou complexas*) que se obtém dos fasores quando se faz $t = 0$, isto é, quando se omite a dependência temporal.

⇒ A omissão do termo $e^{j\omega t}$ é geralmente feita na teoria de circuitos alternados senoidais. Sendo assim, se o fasor tensão num ponto qualquer do circuito for obtido como sendo o número complexo $E = E_0 \angle \theta_0$, a correspondente onda de tensão real no domínio do tempo é obtida, fazendo:

$$E = \text{Re}[E \cdot \exp(j\omega t)] = E_0 \cos(\omega t + \theta_0) \quad (\text{A.7})$$

⇒ Ao invés do fasor amplitude, muitas vezes, se fala no fasor amplitude eficaz. Neste caso, deve-se lembrar que:

$$\text{Fasor eficaz} = \frac{1}{\sqrt{2}} (\text{fasor amplitude}) \quad (\text{A.8})$$

⇒ Um dos aspectos mais interessantes da análise de Fourier reside no fato de que se soubermos a resposta de amplitude e de fase para "*todos*" os tons senoidais no intervalo das frequências "*de interesse*", ou seja, na banda de frequência do sinal de entrada, saberemos também como é a forma do sinal "*transiente*" da resposta temporal numa linha real.

⇒ Das equações (A.1) e (A.2) nota-se que há derivadas dos fasores de tensão e corrente tanto em relação a x como a t . Vamos colocar estas duas equações citadas numa forma mais adequada ao tratamento fasorial.

⇒ Substituindo os fasores girantes de (A.3) e de (A.4) e (A.2), tem-se:

$$\frac{\partial}{\partial x} [E \cdot \exp(j\omega t)] = -RI \exp(j\omega t) - j\omega LI \exp(j\omega t) \quad (\text{A.9})$$

$$\frac{\partial}{\partial x} [I \cdot \exp(j\omega t)] = -GE \exp(j\omega t) - j\omega CE \exp(j\omega t) \quad (\text{A.10})$$

⇒ Omitindo a dependência temporal, as equações (A.9) e (A.10) podem ser escritas com **derivadas totais**:

$$\frac{dE}{dx} = - (R + j\omega L) \cdot I \quad (\text{A.11})$$

$$\frac{dI}{dx} = - (G + j\omega C) \cdot E \quad (\text{A.12})$$

⇒ Define-se:

Impedância série da linha por unidade de comprimento

$$Z = R + j\omega L \quad (\text{A.13})$$

Admitância paralela da linha por unidade de comprimento

$$Y = G + j\omega C \quad (\text{A.14})$$

⇒ Pertanto:

$$\frac{dE}{dx} = - ZI \quad (\text{A.15})$$

$$\frac{dI}{dx} = - YE \quad (\text{A.16})$$

⇒ Vamos obter uma equação diferencial que contenha só a tensão fasorial E . Fazendo $d(\text{eq. A.15}) / dx$, tem-se:

$$\frac{d^2 E}{dx^2} = -Z \frac{dI}{dx} \quad (\text{A.17})$$

⇒ Substituindo (A.16) em (A.17), tem-se:

$$\frac{d^2 E}{dx^2} = (ZY)E \quad (\text{A.18})$$

⇒ Tentemos uma solução de E para a equação (A.18). Deve ser uma função que, diferenciada duas vezes, reproduza a função original multiplicada por (ZY) . Então, uma solução possível é:

$$E = C_1 \exp\left[-\sqrt{ZY} x\right] \quad (\text{A.19})$$

⇒ Onde C_1 é uma constante que tem a dimensão de tensão (*volts*). Entretanto, é necessário completar a solução de E com a possibilidade de haver reflexões na linha, de volta ao gerador. Vamos incluir:

$$E = C_2 \exp\left[\sqrt{ZY} x\right] \quad (\text{A.20})$$

⇒ Portanto, a solução geral é do tipo:

$$E = C_1 \exp\left[-\sqrt{ZY} x\right] + C_2 \exp\left[\sqrt{ZY} x\right] \quad (\text{A.21})$$

⇒ Substituindo (A.21) em (A.15) pode-se achar a correspondente solução da corrente I , ou seja:

$$I = \frac{1}{\sqrt{Z/Y}} \left\{ C_1 \cdot \exp\left[-\sqrt{ZY} x\right] - C_2 \exp\left[\sqrt{ZY} x\right] \right\} \quad (\text{A.22})$$

⇒ A grandeza (*complexa em geral*) $(Z/Y)^{1/2}$ é a impedância característica Z_0 da linha real, ou seja,

$$Z_0 = \sqrt{\frac{Z}{Y}} = \sqrt{\frac{R + j\omega L}{G + j\omega C}} \quad [\Omega] \quad (\text{A.23})$$

⇒ Observe que Z_0 é dada em $[\Omega]$, e independente do comprimento da linha: Z_0 é função de R, L, G, C e da frequência $\omega = 2\pi f$.

Lembrete: Para linha sem dissipação (*ideal*) $R=G=0$ e $Z_0 = R_0 = (L/C)^{1/2}$ (*real puro*).

⇒ Por outro lado, observando as equações (A.21) e (A.22), nota-se que a grandeza γ é responsável pela propagação. Assim, define-se:

$$\gamma = \sqrt{ZY} = \sqrt{(R + j\omega L)(G + j\omega C)} = \alpha + j\beta \quad (\text{A.24})$$

onde:

γ = const. de propagação complexa ou função de propagação.

α = const. de atenuação da linha dada em [nep/m]

β = const. de desvio de fase da linha dada em [rad/m].

Linha infinita, velocidade de fase e comprimento de onda

⇒ É instrutivo neste ponto, analisar como ficam as soluções obtidas na secção anterior para o caso de uma linha de transmissão de comprimento infinito, ($\ell = \infty$). A Fig. A.1 ilustra esta situação.

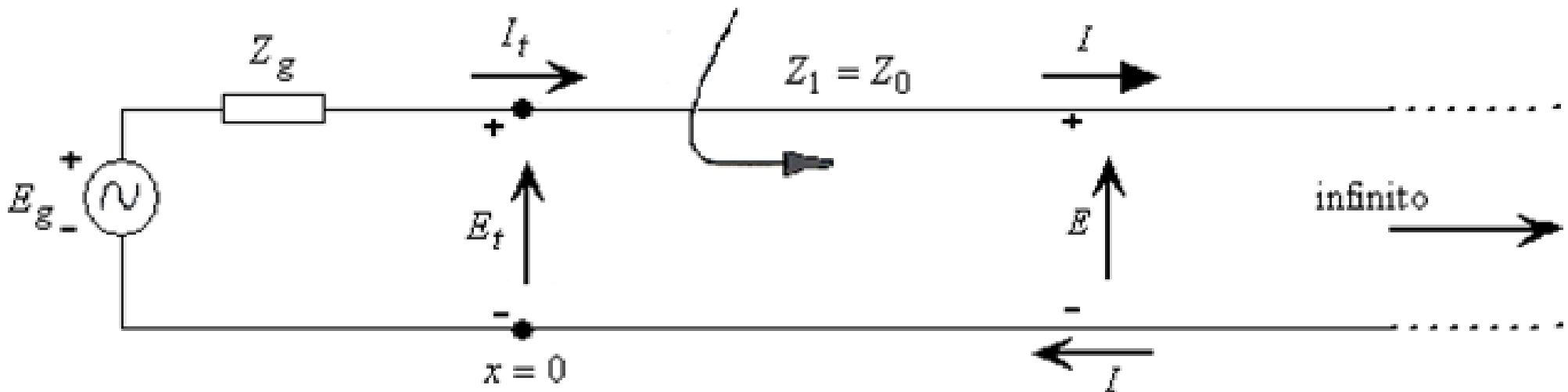


Figura A.1 – Linha Infinita.

- ⇒ Nesta Figura, E_t e I_t são os fasores tensão e corrente na posição (*no lado da transmissão*), E e I são os fasores tensão e corrente num ponto qualquer, a uma distância x do gerador.
- ⇒ Como o termo de propagação γ envolve a atenuação α da linha, que é uma quantidade positiva, é natural esperar que as soluções de tensão (ver eq.(A.21) e de corrente (ver eq. (A.22) tenham $C_2 = 0$.
- ⇒ A existência do 2º. termo nas equações citadas faria com que este termo tendesse a infinito, à medida que $x \rightarrow \infty$. Isto seria impossível do ponto de vista de energia, uma vez que a linha real dissipa energia de fato. Portanto C_2 deve ser zero.

⇒ A solução de tensão na linha é então:

$$E = C_1 \exp \left[-\sqrt{ZY} x \right] \quad (\text{A.25})$$

→ (Propagação para a direita)

⇒ Calculemos C_1 a partir de uma condição de contorno. Para $x = 0$, tem-se $E = E_t$ (*tensão na boca da linha*). Então a eq. (A.25). Pode ser escrita como a seguir:

$$E_t = C_1 \exp[0] = C_1 \quad (\text{A.26})$$

$$E = E_t \exp[-\sqrt{ZY} x] = E_t \exp[-\gamma x] \quad (\text{A.27})$$

$$E = E_t \exp[-(\alpha + j\beta)x] \quad (\text{A.28})$$

$$E = E_t \exp[-\alpha x] \exp[-j\beta x] = E_t \exp[-\alpha x] \angle^{-\beta x} \quad (\text{A.29})$$

⇒ De (A.29), nota-se que a fase de referência (*fase zero*) é colocada na tensão de entrada. E_t é real e é a amplitude de pico da onda $\cos \omega t$. Se, por outro lado, a referência de fase for em E_g , E_t seria complexa indicando alguma fase diferente de zero, dado que Z_g e/ou Z_0 são complexas em geral.

⇒ A solução de corrente é obtida de maneira análoga da eq. (A.22), fazendo também $C_1 = E_t$ e $C_2 = 0$. Obtém-se então:

$$I = \frac{E_t}{Z_0} \exp[-\alpha x] \exp[-j\beta x] \quad (\text{A.30})$$

⇒ Assim, se E_t é real (fase zero na tensão de entrada) tem-se:

$$I = \frac{E_t}{|Z_0|} \exp[-\alpha x] \exp[-j\beta x - j\theta_0] \quad (\text{A.31})$$

$$I = \frac{E_t}{|Z_0|} \exp[-\alpha x] \underline{(\beta x + \theta_0)} \quad (\text{A.32})$$

Onde: $Z_0 = |Z_0| \angle \theta_0 = |Z_0| \exp[j\theta_0]$ é uma grandeza complexa geral

⇒ Observe de (A.29) e (A.30) que:

$$\frac{E}{I} = Z_0 \quad (\text{A.33})$$

ou

$$\frac{I}{E} = Y_0 \quad (\text{A.34})$$

Onde: $Y_0 = \frac{1}{Z_0} = |Y_0| \angle -\theta_0 = |Y_0| e^{-j\theta_0}$ (A.35)

⇒ É importante, neste momento, lembrar que a eq. (A.29) dá a tensão na forma fasorial. Para achar a onda no tempo, faz-se:

$$e(x, t) = \text{Re} \left[E_t \exp(-\alpha x) \exp(-j\beta x) \exp(j\omega t) \right] \quad (\text{A.36})$$

$$e(x, t) = E_t \exp(-\alpha x) \cos(\omega t - \beta x) \quad (\text{A.37})$$

⇒ Da eq. (A.37), nota-se que em cada ponto x qualquer da linha, há uma oscilação senoidal (*ou cossenoidal*) de tensão com uma amplitude, e com atraso de fase dado em radianos. Pode-se notar também que se $\alpha \neq 0$ (*linha real*) a amplitude de oscilação cai com a distância x do gerador, de uma maneira exponencial.

- ⇒ Note finalmente que, se $\alpha = 0$ (*linha ideal*) a amplitude da oscilação não cai mais com x (é constante, e vale E_t); há apenas um retardo de fase proporcional à distância x do gerador ($-\beta x$).
- ⇒ A forma de (A.37) é reconhecida como sendo a equação de uma onda progressiva (x e t *aparecem conjuntamente no argumento do cosseno*). A ideia de uma onda senoidal progressiva é melhor visualizada se usarmos a ideia do observador montado na onda. O argumento é então uma constante, ou seja :

$$\omega t - \beta x = K \quad (\text{A.38})$$

⇒ Nota-se que (A.37) descreve uma perturbação senoidal que viaja para a direita (*sentido de x crescente*), uma vez que se t aumenta (ver eq. A.38), x tem que aumentar, para manter a constante K . A velocidade desta perturbação é obtida de (A.38), diferenciando em relação ao tempo, ou seja:

$$\omega - \beta \frac{dx}{dt} = 0 \quad (\text{A.39})$$

$$v_f = \frac{dx}{dt} = \frac{\omega}{\beta} \quad (\text{A.40})$$

⇒ A equação (A.40) define a velocidade de fase v_f da perturbação senoidal.

⇒ Se a linha não tem perdas ($R = G = 0$) a função de propagação γ (ver eq. A.24) fornece:

$$\gamma = \sqrt{(j\omega L)(j\omega C)} = j\omega\sqrt{LC} = \alpha + j\beta \quad (\text{A.41})$$

Portanto:

$$\alpha = 0 \quad \beta = \omega\sqrt{LC} \quad (\text{A.42})$$

⇒ Assim, substituindo o valor obtido para β de (A.42) em (A.40), obtém-se:

$$v_f = \frac{\omega}{\omega\sqrt{LC}} = \frac{1}{\sqrt{LC}} \quad [\text{m/s}] \quad (\text{A.41})$$

⇒ Assim, conclui-se que para linha ideal a velocidade de fase é independente da frequência (ver (A.43)). Isto é uma consequência de que, na linha ideal, β é diretamente proporcional à frequência (ver (A.42)).

⇒ Para uma linha real, de modo geral não é diretamente proporcional à frequência. Por consequência, a velocidade da fase não é uma constante. Este fato é o responsável pelo fenômeno da dispersão em linhas.

- ⇒ As várias componentes senoidais (*pense no espectro de um pulso injetado na linha*) viajarão com velocidades de fase diferentes. Algumas chegarão antes das outras. A composição de todas elas na saída da linha não mais conformará o mesmo pulso injetado na entrada, e ele estará então distorcido (*ou espalhado no tempo*). Este tipo de distorção é causado pela não linearidade da constante de desvio da fase. É a chamada distorção de fase.
- ⇒ Um outro tipo de distorção é a chamada distorção de amplitude. Esta aparece devido ao fato de que a constante de atenuação não é, de fato, constante com a frequência. O valor de α é obtido através da relação (A.24).

⇒ O fato de α variar com a frequência faz com que as várias componentes senoidais do pulso já referido anteriormente sofram atenuações diferentes. Deste modo, elas também não podem mais conformar o pulso que foi injetado na entrada da linha. Assim, ele aparece distorcido na saída. É então o caso de distorção de amplitude.

⇒ Para a corrente dada em (A.30), valem idênticas considerações àquelas já feitas para a tensão. É preciso apenas notar que, se Z_0 for real, E e I estão em fase para qualquer ponto x da linha. Se Z_0 não é real então, a corrente I está atrasada de um ângulo θ_0 em relação à tensão no mesmo ponto x da linha (ver eq. A.32).

⇒ Vamos definir agora o comprimento de onda λ como a menor distância entre dois pontos de mesma fase, ou seja:

$$\beta x \Big|_{x = \lambda} = \beta \lambda = 2\pi \text{ radianos} \quad (\text{A.44})$$

$$\lambda = \frac{2\pi}{\beta} \text{ ou } \beta = \frac{2\pi}{\lambda} \quad (\text{A.45})$$

⇒ Das relações (A.45) e (A.40), obtém-se várias identidades de interesse

$$\lambda = \frac{2\pi}{\omega} v f = \frac{2\pi}{\frac{2\pi}{T}} v f = \frac{v f}{f} = T v f \quad (\text{A.46})$$

Onde f é a frequência cíclica dada em Hz, T [s] é o período da oscilação

Linha finita bem terminada

⇒ Note que, na Fig. A.1, se a linha for seccionada num valor $x = \ell$ [m] mas, ao mesmo tempo, providenciarmos uma impedância de carga $Z_c = Z_0$ para terminar a linha de comprimento ℓ , as soluções já obtidas para E e I para $0 \leq x \leq \ell$ na secção anterior devem se conservar.

Linha finita bem terminada

⇒ Isto se explica pelo fato de que os fasores E e I estão relacionados na linha através de $E / I = Z_0$, para qualquer x . Esta relação continua válida também em $x = \ell$, por construção. Assim o trecho de linha de comprimento ℓ não pode “perceber” que a linha foi seccionada.

⇒ As soluções dos fasores E e I numa linha finita terminada com impedância de carga $Z_c = Z_0$ [Ω] são então aquelas já obtidas nas eqs. (A.29) e (A.30). A Fig. A.2 ilustra a posição dos fasores de tensão na linha, em um comprimento de onda.

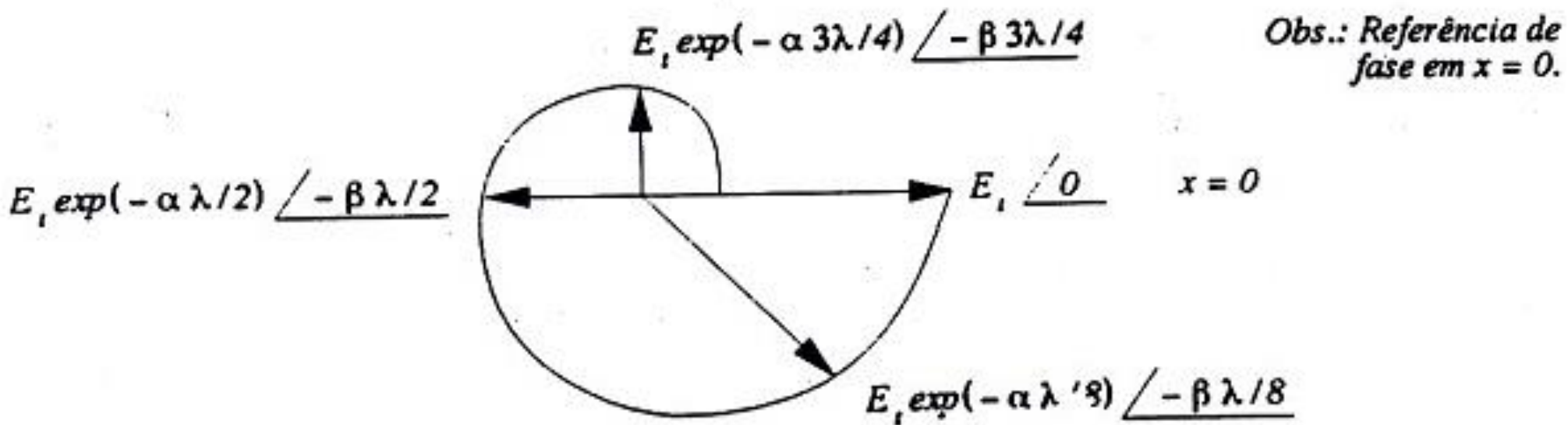


Fig. A. 2 – Fasores de tensão para $x = 0$ (no eixo real), $x = \lambda/8$, $x = \lambda/2$ e $x = 3\lambda/4$.

⇒ Note que a ponta dos fasores descreve uma espiral logarítmica decrescente à medida que se aumenta x , devido ao termo de atenuação $\exp(-\alpha x)$.

⇒ As distribuições de tensão ao longo da linha, para vários instantes sucessivos, podem ser visualizadas na Fig. A.3.

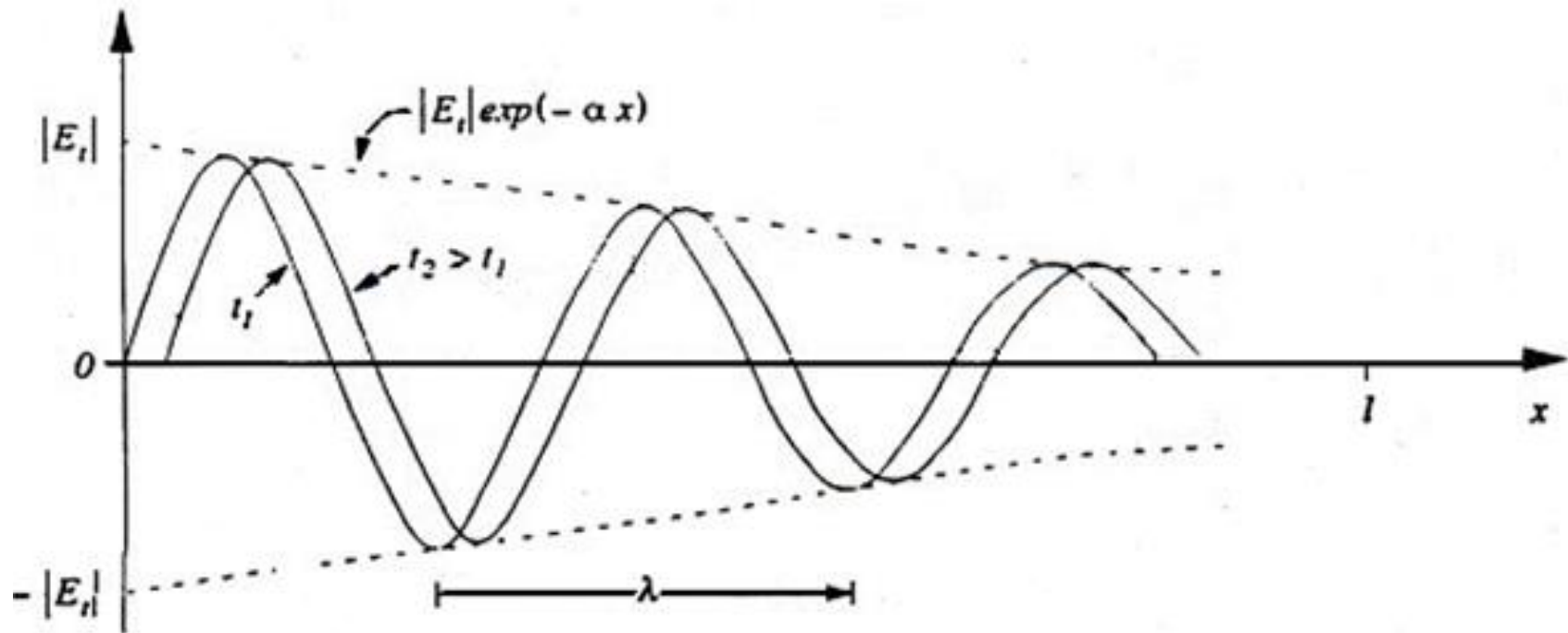


Fig. A.3.-Instantâneos de tensão na linha real terminada com $Z_c = Z_0$

⇒ Note da Fig. A.3 que as amplitudes das oscilações senoidais na linha decrescem de um modo exponencial, devido à presença do termo de atenuação na solução de (A.29).

Reflexões na Linha e coeficiente de reflexão medido a partir da carga:

$$E = E^+ + E^- \quad (\text{A.47})$$

onde o fasor E total é a soma do fasor incidente E^+ e do fasor refletido E^- .

$$I = I^+ + I^- \quad (\text{A.48})$$

A corrente é também da mesma forma.

A comparação de (A.47) e (A.48) com as eqs. (A.21) e (A.22) mostra que :

$$I^+ = \frac{E^+}{Z_0} \quad (\text{A.49})$$

$$I^- = \frac{-E^-}{Z_0} \quad (\text{A.50})$$

A determinação das constantes (*que têm dimensão de tensão*) nas soluções já obtidas nas eqs. (A.21) e (A.22) pode ser feita de várias maneiras. É útil, por exemplo, expressar as quantidades em função das grandezas terminais (ver Fig. A.4).

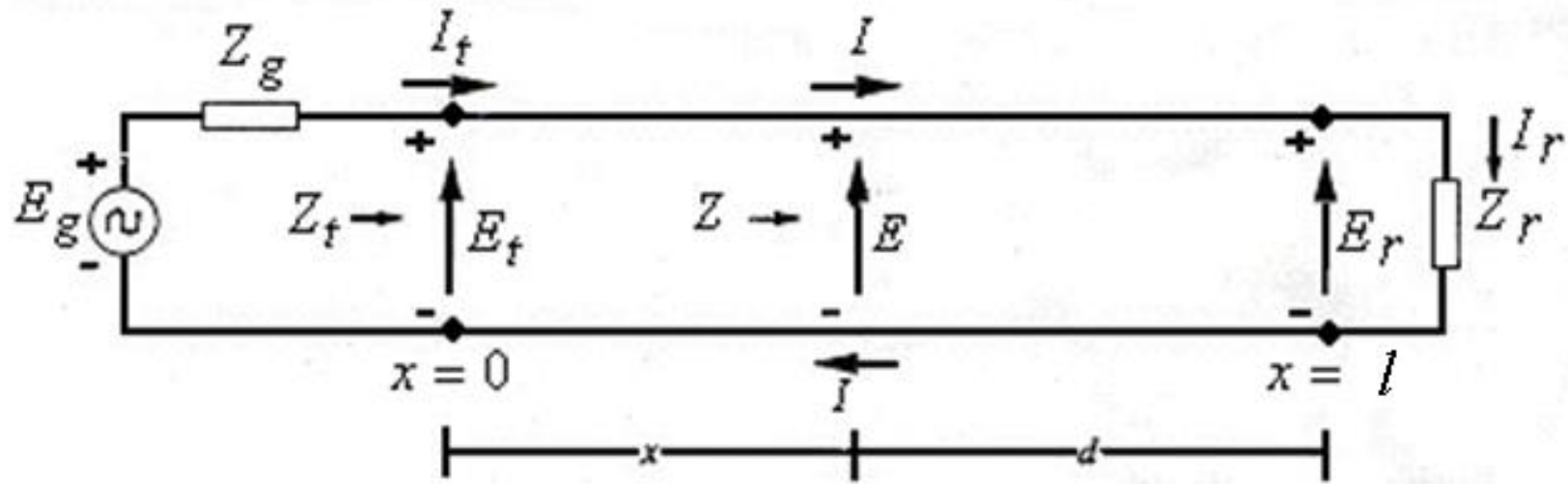


Fig. A.4 – Diagrama contendo a notação usada.

Vamos substituir $E = I_r Z_r$ e $I = I_r$ em $x = \ell$ nas eqs. (A.21) e (A.22).
 Obtém-se então :

$$I_r Z_r = C_1 \exp(-\gamma \ell) + C_2 \exp(\gamma \ell) \quad (\text{A.51})$$

$$I_r Z_0 = C_1 \exp(-\gamma \ell) - C_2 \exp(\gamma \ell) \quad (\text{A.52})$$

Somando (A.51) e (A.52), obtém-se C_1 dado por :

$$C_1 = \frac{I_r}{2} (Z_r + Z_0) \exp(\gamma \ell) \quad (\text{A.53})$$

Subtraindo (A.52) e (A.51), obtém-se C_2 dado por :

$$C_2 = \frac{I_r}{2} (Z_r - Z_0) \exp(-\gamma \ell) \quad (\text{A.54})$$

Assim, substituindo estes valores em (A.21) e (A.22), E e I , respectivamente, obtém-se :

$$E = \frac{I_r}{2} \left\{ (Z_r + Z_0) \exp[\gamma(\ell - x)] + (Z_r - Z_0) \exp[\gamma(x - \ell)] \right\} \quad (\text{A.55})$$

$$I = \frac{I_r}{2Z_0} \left\{ (Z_r + Z_0) \exp[\gamma(\ell - x)] - (Z_r - Z_0) \exp[\gamma(x - \ell)] \right\} \quad (\text{A.56})$$

Se quisermos referir a distância a partir da carga, pode-se usar a relação $d = \ell - x$ (ver Fig. A.4), temos então :

$$E = \frac{I_r}{2} \left\{ (Z_r + Z_0) \exp(\gamma d) + (Z_r - Z_0) \exp(-\gamma d) \right\} \quad (\text{A.57})$$

$$I = \frac{I_r}{2Z_0} \left\{ (Z_r + Z_0) \exp(\gamma d) - (Z_r - Z_0) \exp(-\gamma d) \right\} \quad (\text{A.58})$$

A relação entre a onda de tensão refletida pela incidente resulta no coeficiente de reflexão de tensão, ou seja:

$$\Gamma = \frac{E^-}{E^+} = \frac{Z_r - Z_0}{Z_r + Z_0} \exp(-2\gamma d) \quad (\text{A.59})$$

$$\Gamma = \Gamma_r \exp(-2\alpha d) \exp(-j2\beta d) \quad (\text{A.60})$$

Sendo

$$\Gamma_r = (Z_r - Z_0) / (Z_r + Z_0) \quad (\text{A.61})$$

o coeficiente de reflexão de tensão na posição da carga ou recepção. Enquanto o coeficiente de reflexão de corrente é dado por:

$$\Gamma' = -\Gamma = \frac{Z_0 - Z_r}{Z_r + Z_0} \exp(-2\alpha d) \exp(-j2\beta d) \quad (\text{A.62})$$

A impedância complexa num ponto da linha é obtida da divisão do fasor total E pelo total I . assim, usando as eqs. (A.57) e (A.58), obtém-se:

$$Z = \frac{E}{I} = Z_0 \frac{(Z_r + Z_0) \exp \gamma d + (Z_r - Z_0) \exp(-\gamma d)}{(Z_r + Z_0) \exp \gamma d - (Z_r - Z_0) \exp(-\gamma d)} \quad (\text{A.63})$$

Ou então:

$$Z = Z_0 \cdot \frac{Z_r [\exp(\gamma d) + \exp(-\gamma d)] + Z_0 [\exp(\gamma d) - \exp(-\gamma d)]}{Z_0 [\exp(\gamma d) + \exp(-\gamma d)] + Z_r [\exp(\gamma d) - \exp(-\gamma d)]} \quad (\text{A.64})$$

Por meio da relação trigonométrica

$$\frac{\exp(\gamma d) - \exp(-\gamma d)}{\exp(\gamma d) + \exp(-\gamma d)} = \operatorname{tgh}(\gamma d) \quad (\text{A.65})$$

aplicada à (A.64), obtém-se:

$$Z = Z_0 \frac{Z_r + Z_0 \operatorname{tgh}(\gamma d)}{Z_0 + Z_r \operatorname{tgh}(\gamma d)} \quad (\text{A.66})$$

Se $Z_r = Z_0$ a impedância Z em qualquer ponto da linha é também igual a Z_0 .

Se eventualmente $Z_r = 0$, então (A.66) é descrita como:

$$Z = Z_0 \frac{Z_0 \operatorname{tgh}(\gamma d)}{Z_0} = Z_0 \operatorname{tgh}(\gamma d) \quad (\text{A.67})$$

No caso de uma linha ideal, sendo $Z_r = R_0$ e $\gamma d = j\beta d$, tem-se :

$$Z = R_0 \operatorname{tgh}(j\beta d) \quad (\text{A.68})$$

e

$$\operatorname{tgh}(jx) = j \operatorname{tg} x \quad (\text{A.69})$$

Sendo assim, obtém-se para a linha sem perdas:

$$Z = jR_0 \cdot \operatorname{tg} (\beta d) \quad (\text{A.70})$$

O módulo da impedância num ponto qualquer da linha ideal com $Z_r = 0$ varia então segundo uma tangente: $\frac{Z}{j}$

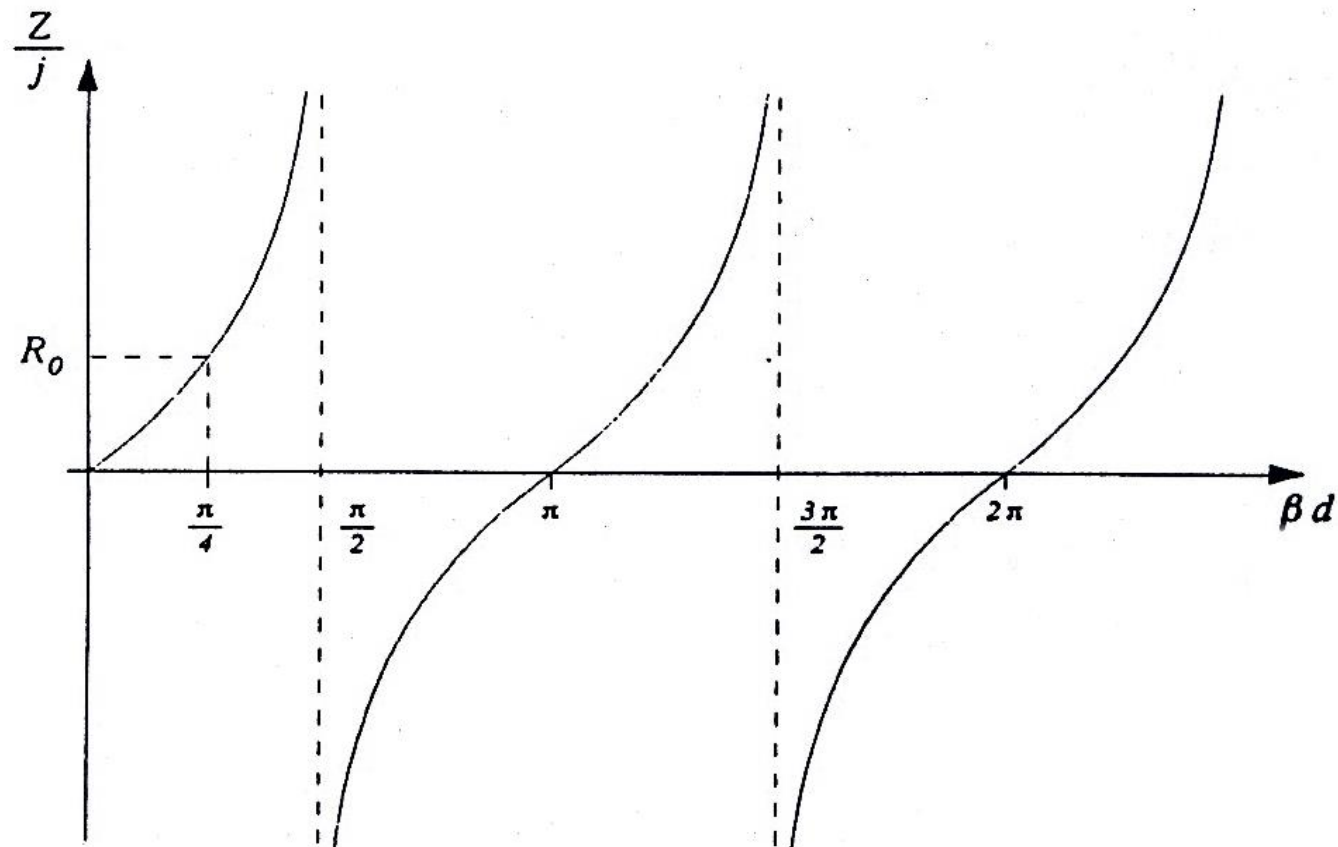


Fig. A.5 – Reatância produzida por uma linha ideal em curto.